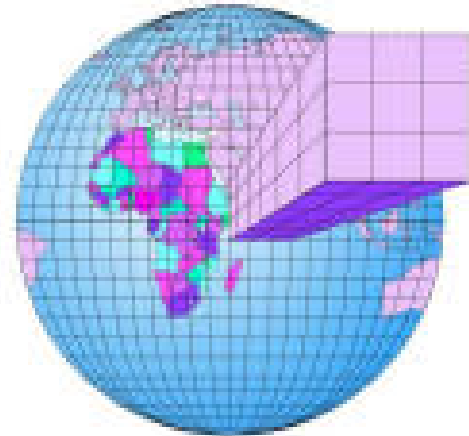
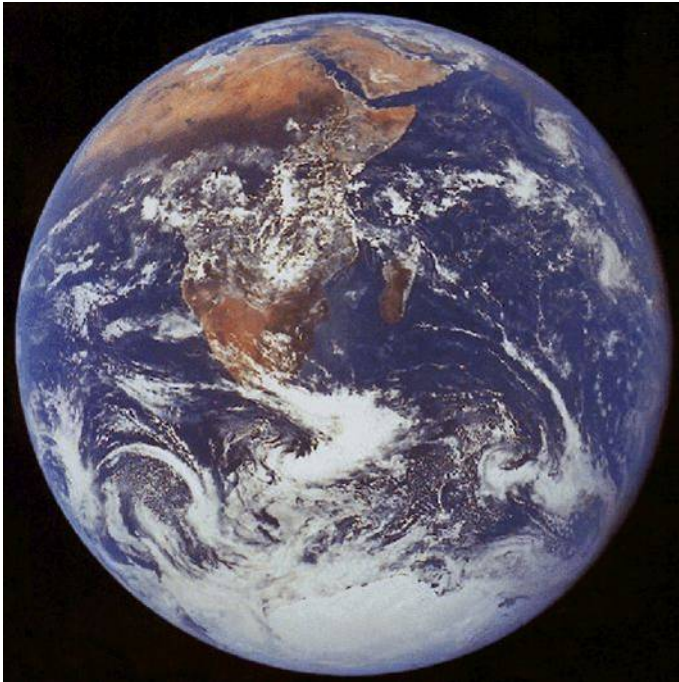
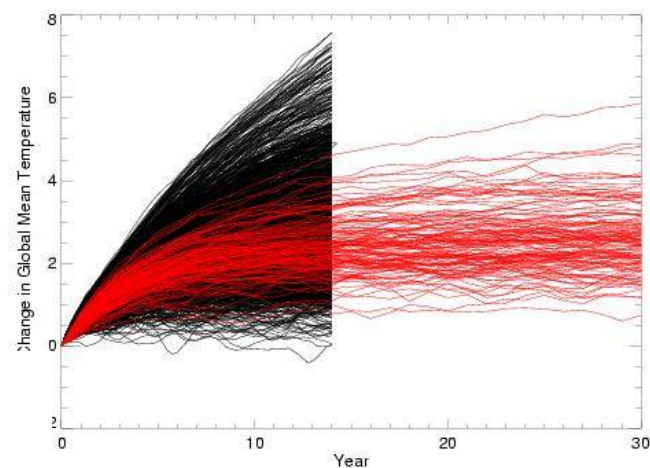
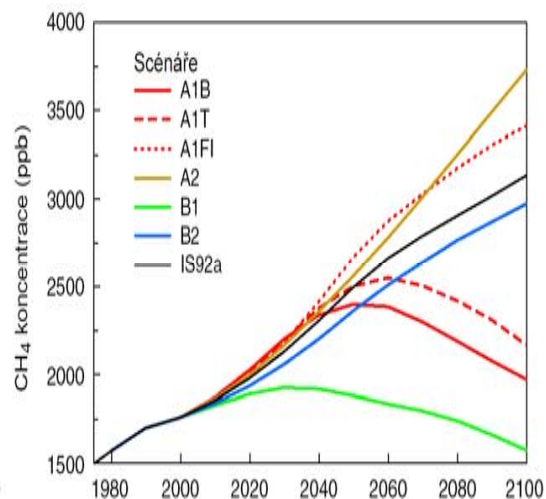
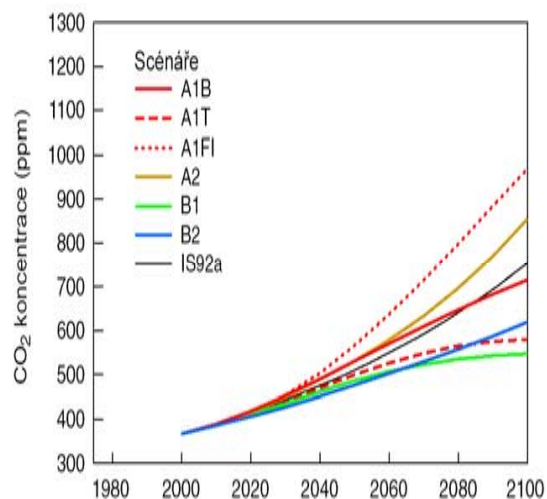


Klimatické modely a scénáře změny klimatu

Jaroslava Kalvová, MFF UK v Praze



- Jak se vytvářejí klimatické modely
- Verifikace modelů
- V čem spočívají hlavní nejistoty modelových projekcí
- Kvantifikace neurčitostí
- Projekce budoucích změn



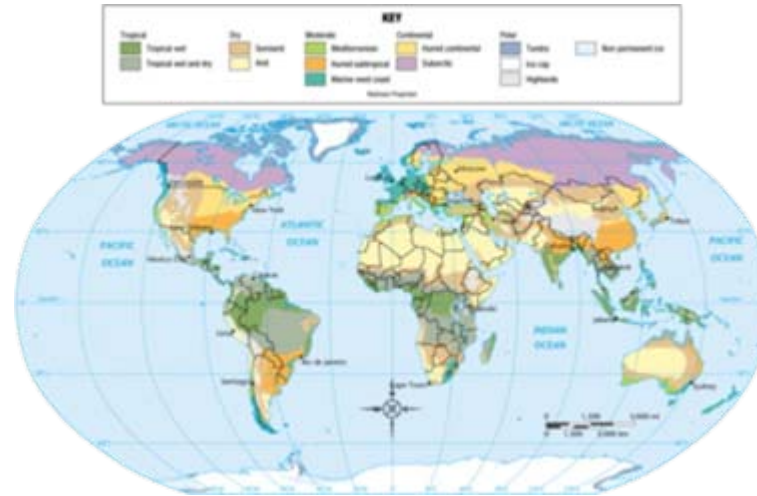


Počasí a klima

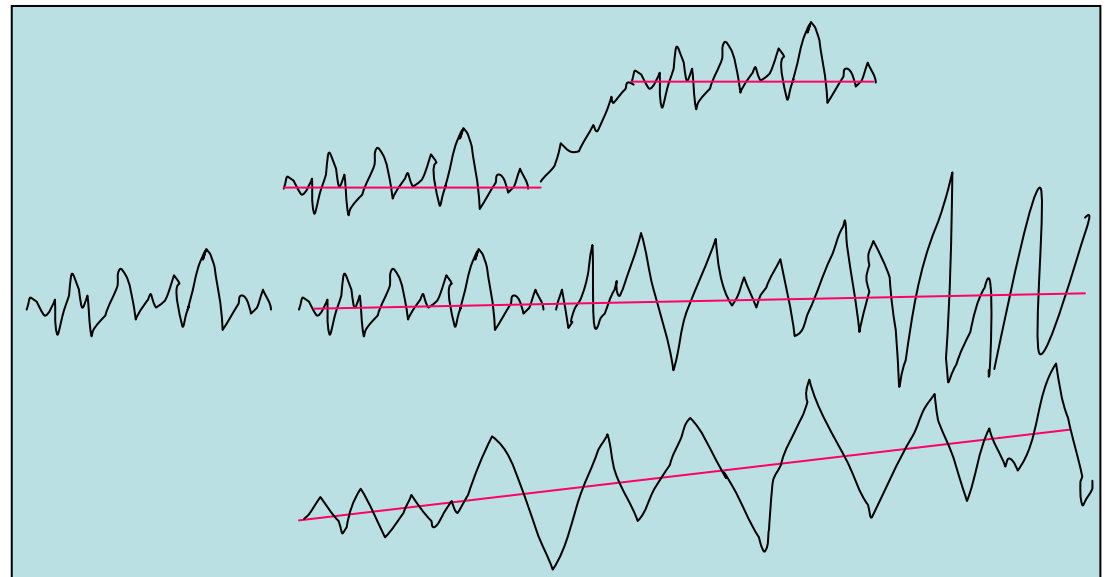
Počasí



Klima



Změna klimatu



Globální klimatické modely

(Global Climate Models)

Modely všeobecné cirkulace atmosféry

(General Circulation Models)

Globální klimatický model GCM

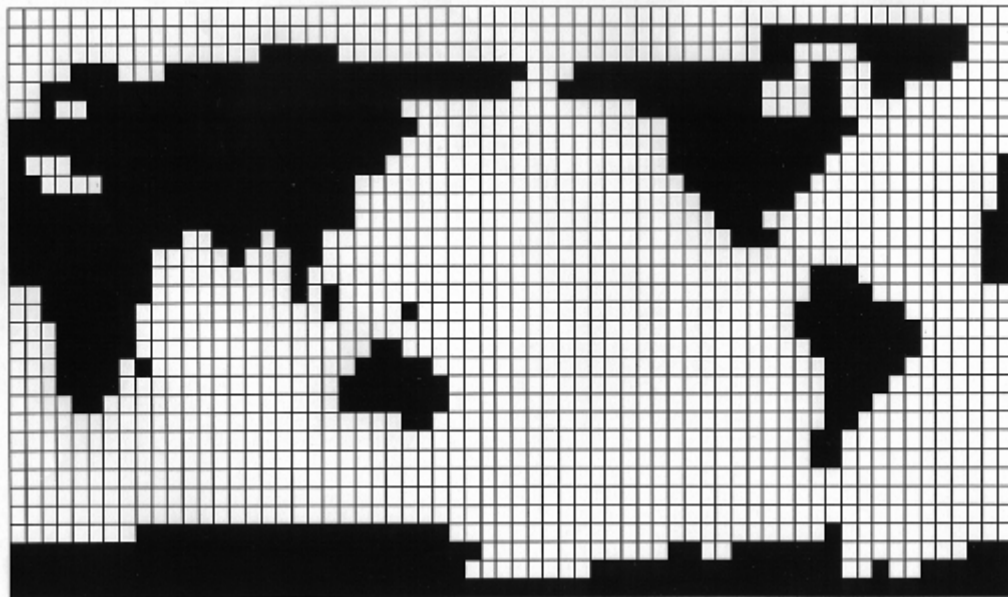
matematická reprezentace dějů probíhajících v klimatickém systému Země (atmosféra, oceán, kryosféra, pevný zemský povrch a biosféra) počítaná na celé kouli.

Tyto modely jsou v mnoha ohledech podobné numerickým modelům používaným k předpovědi počasí, stejně jako ony vycházejí ze základních fyzikálních zákonů zachování hmoty, energie a hybnosti.

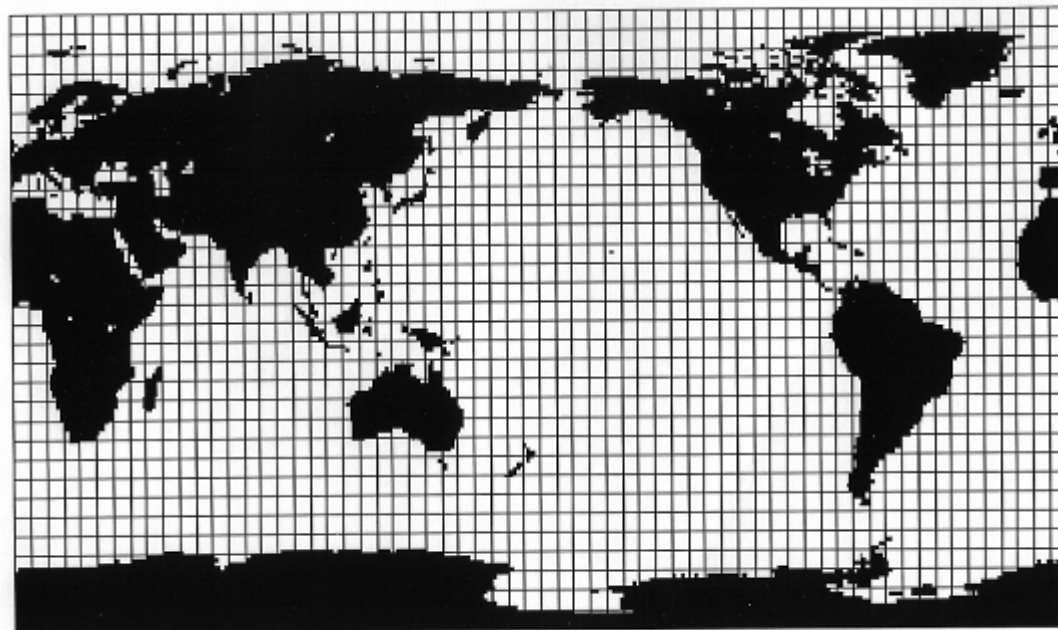
Dynamické jádro -řídící rovnice

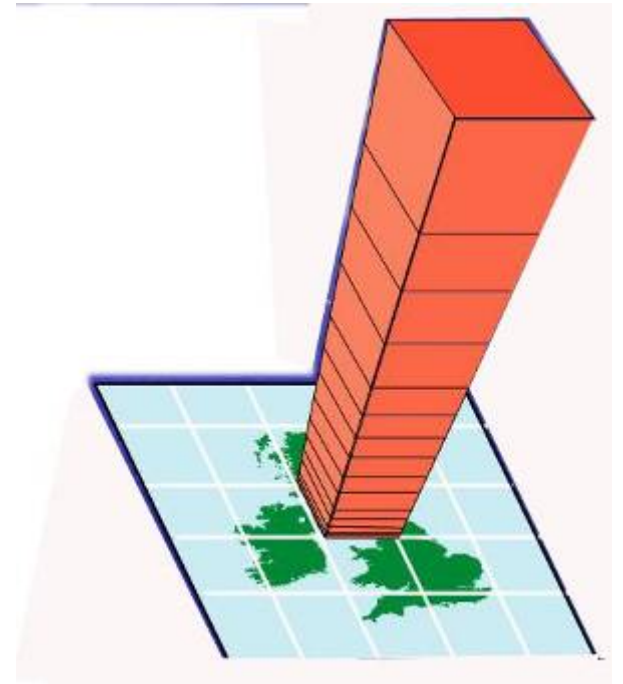
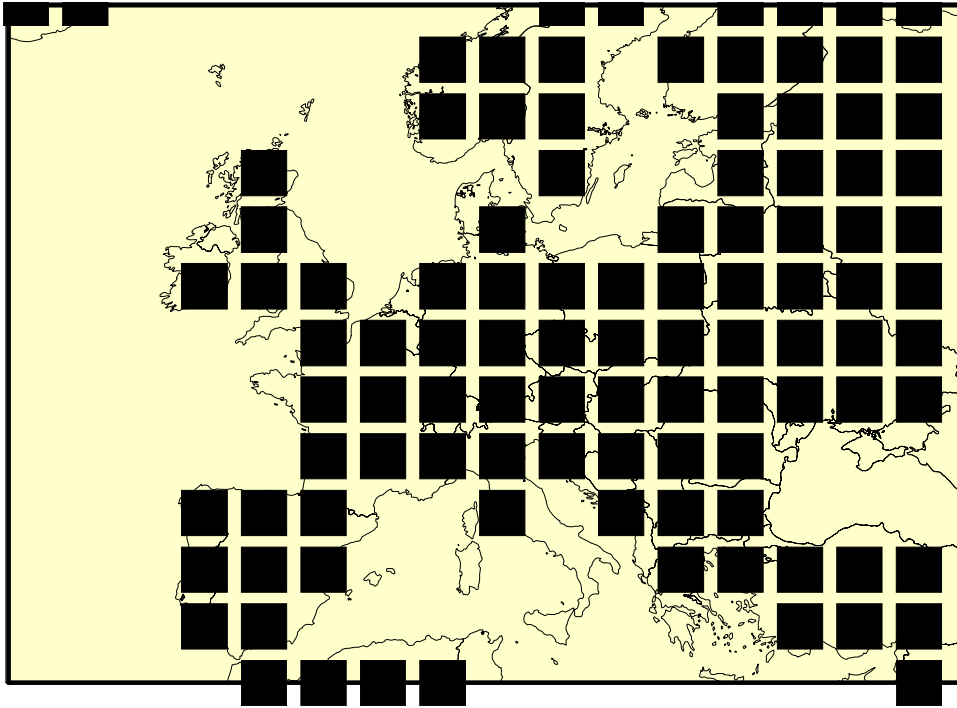
- 2. Newtonův zákon
- termodynamická rovnice (1.HVT)
- rovnice kontinuity
- stavová rovnice
- rovnice kontinuity vodní páry

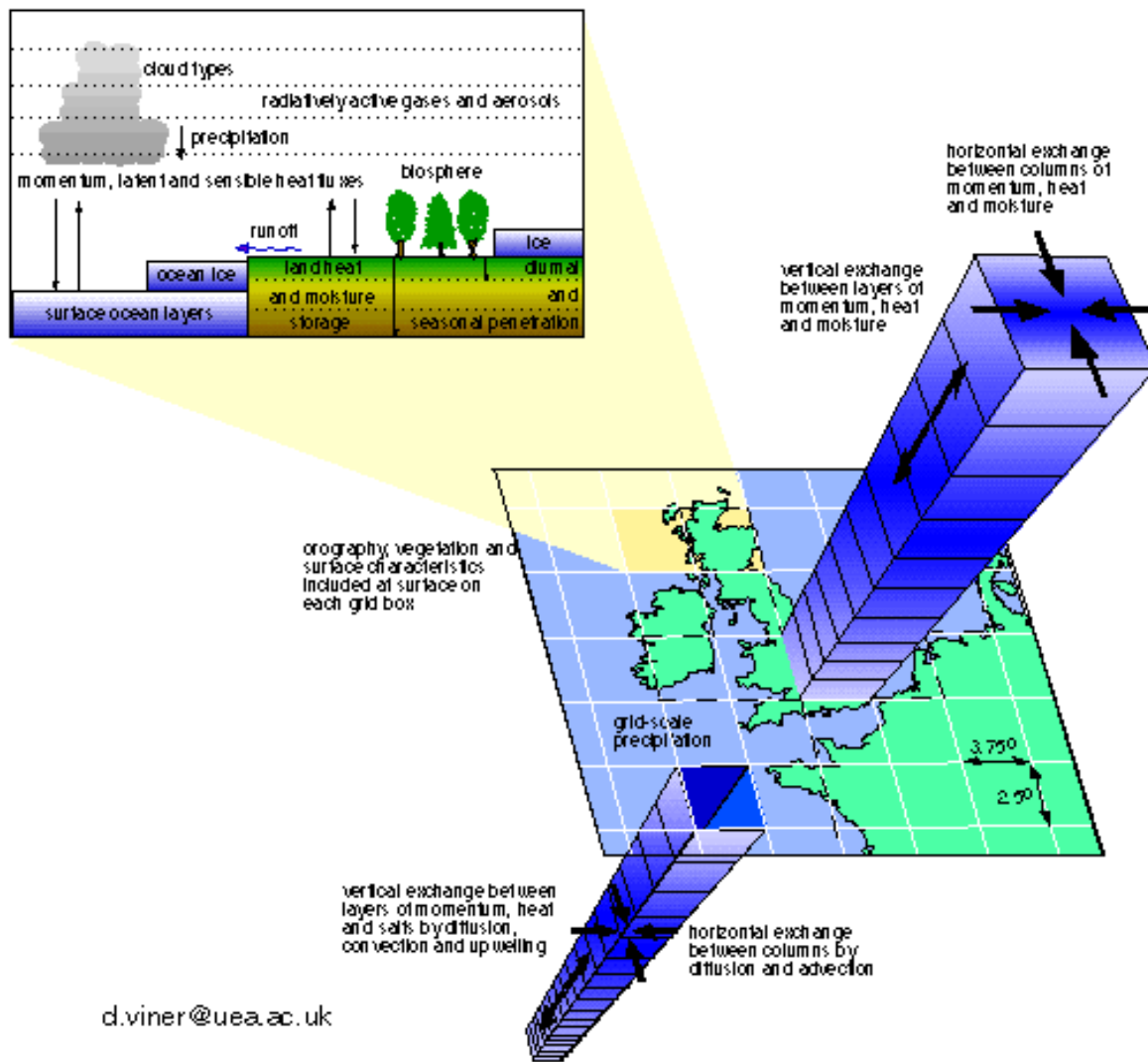




Horizontální rozlišení
modelů



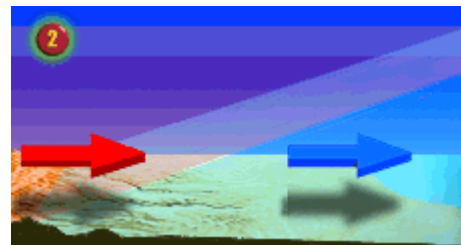
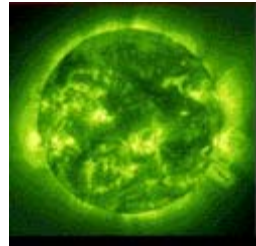


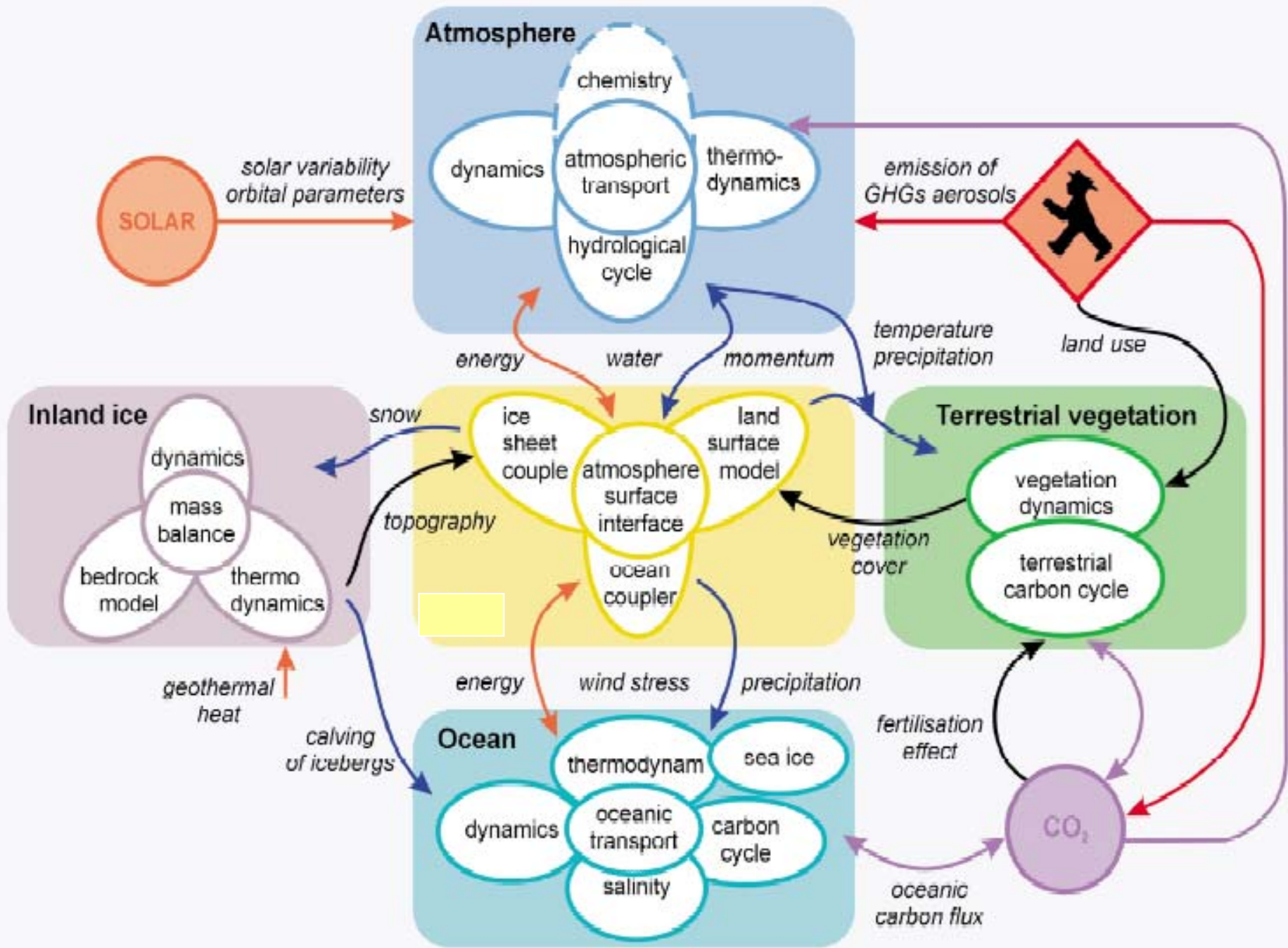


d.viner@uea.ac.uk

Parametrizace procesů subgridového měřítka

- krátkovlnná a dlouhovlnná radiace
- procesy na zemském povrchu a pod povrchem
- vznik oblačnosti a srážek velkého měřítka
- konvekce a konvekční srážky





Klimatické modely

GCM - globální klimatické modely

- model atmosféry AGCM
- model oceánu OGCM
- model kryosféry

AOGCM (AGCM + OGCM + model „ledu“)

RCM - regionální klimatické modely

model atmosféry

- **část dynamická** (pohybové rovnice, transport hmoty suchého vzduchu a vodní páry, přeměny energie ve velkém měřítku)
- **část fyzikální** (radiační schémata, vznik a rozložení oblačnosti, atmosférické srážky, uvolňování latentního tepla)
- **část doplňková** (přenos hmoty, hybnosti, latentního a zjevného tepla mezi atmosférou a zemským povrchem, topografie povrchu, vegetace, ..)

Numerické řešení řídicích rovnic AGCM

metoda diferenční

metoda spektrální

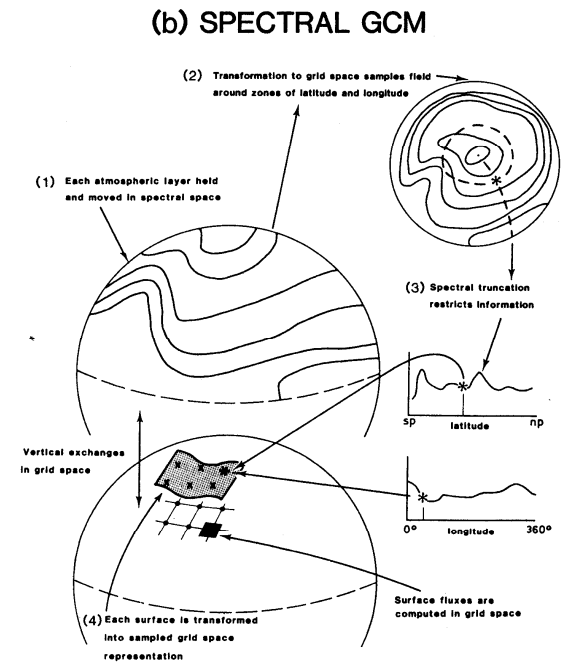
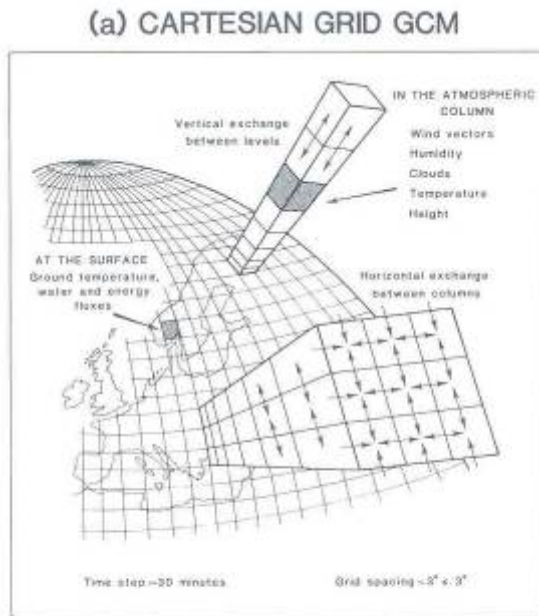
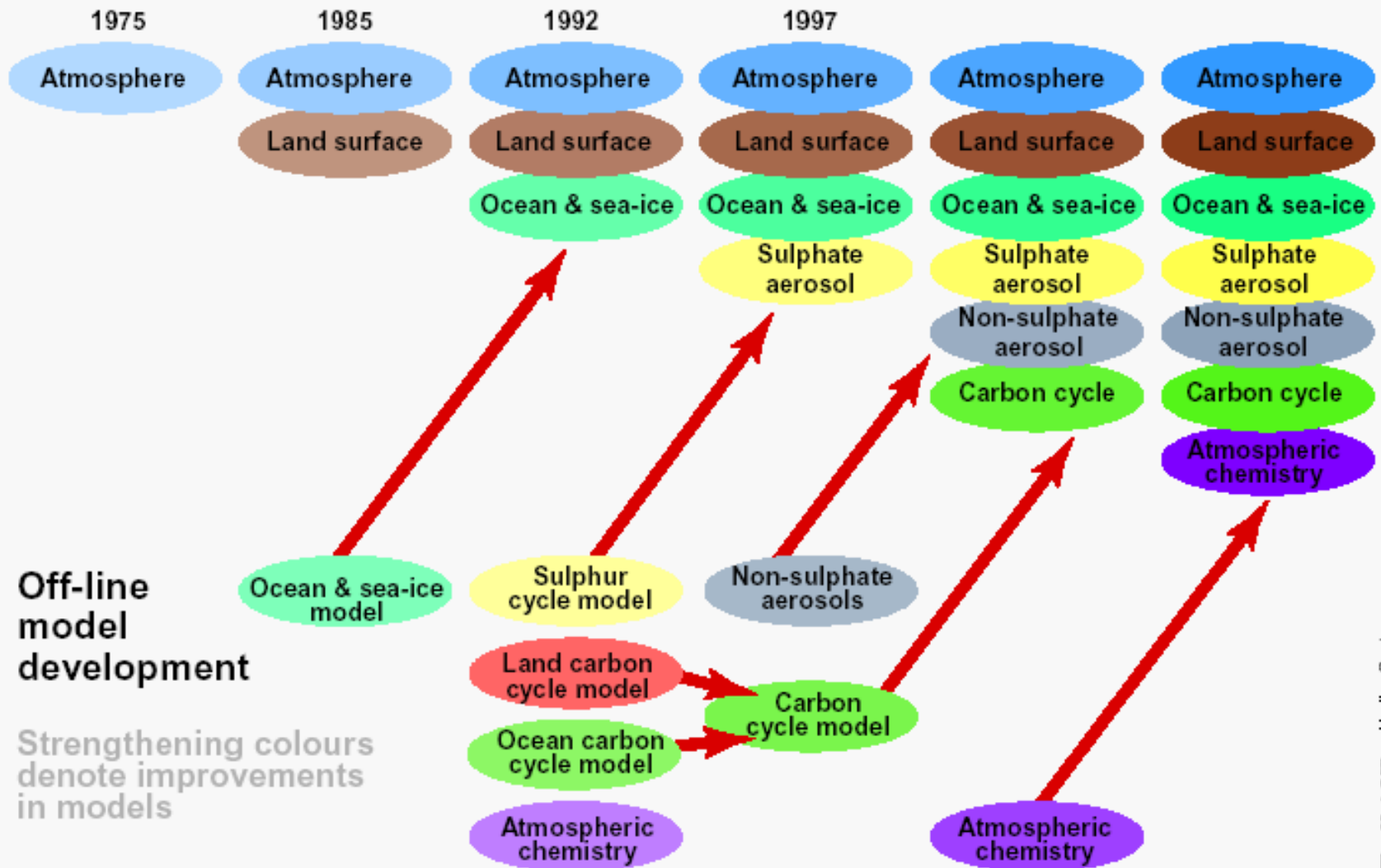


Figure 5.2. Continued

EARTH SYSTEM MODEL



Pokusy s klimatickými modely

kontrolní běh modelu

historický běh modelu (podle pozorovaného růstu koncentrací)

experimenty

a) experimenty s postupnou změnou koncentrací skleníkových plynů, popř. dalších látek ovlivňujících radiační procesy v atmosféře

b) stabilizační experiment

ekvivalentní koncentrace CO₂

Verifikace a nejistoty modelových simulací

Verifikace

Schopnost modelů simulovat současné klima

- ? Chová se model jako reálný klimatický systém
- ? Co od modelu mohu očekávat – co model „vidí“
- ? Co je při posuzování klíčové

Jaké jsou základní zdroje neurčitostí?

- ? Mohu vycházet z jedné modelové simulace

Rozptyl výsledků různých klimatických modelů

Přirozená variabilita

Schopnost modelů simulovat současné klima

Znám dobře
současné chování
klimatického systému?

Jak posuzovat
shodu?

Omezení plynoucí
z pozorování

Základní klimatické prvky
(morfologie)
Bilance (radiační, energetická)
Cykly, monzuny, ENSO

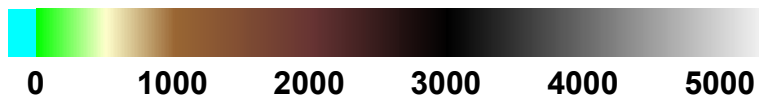
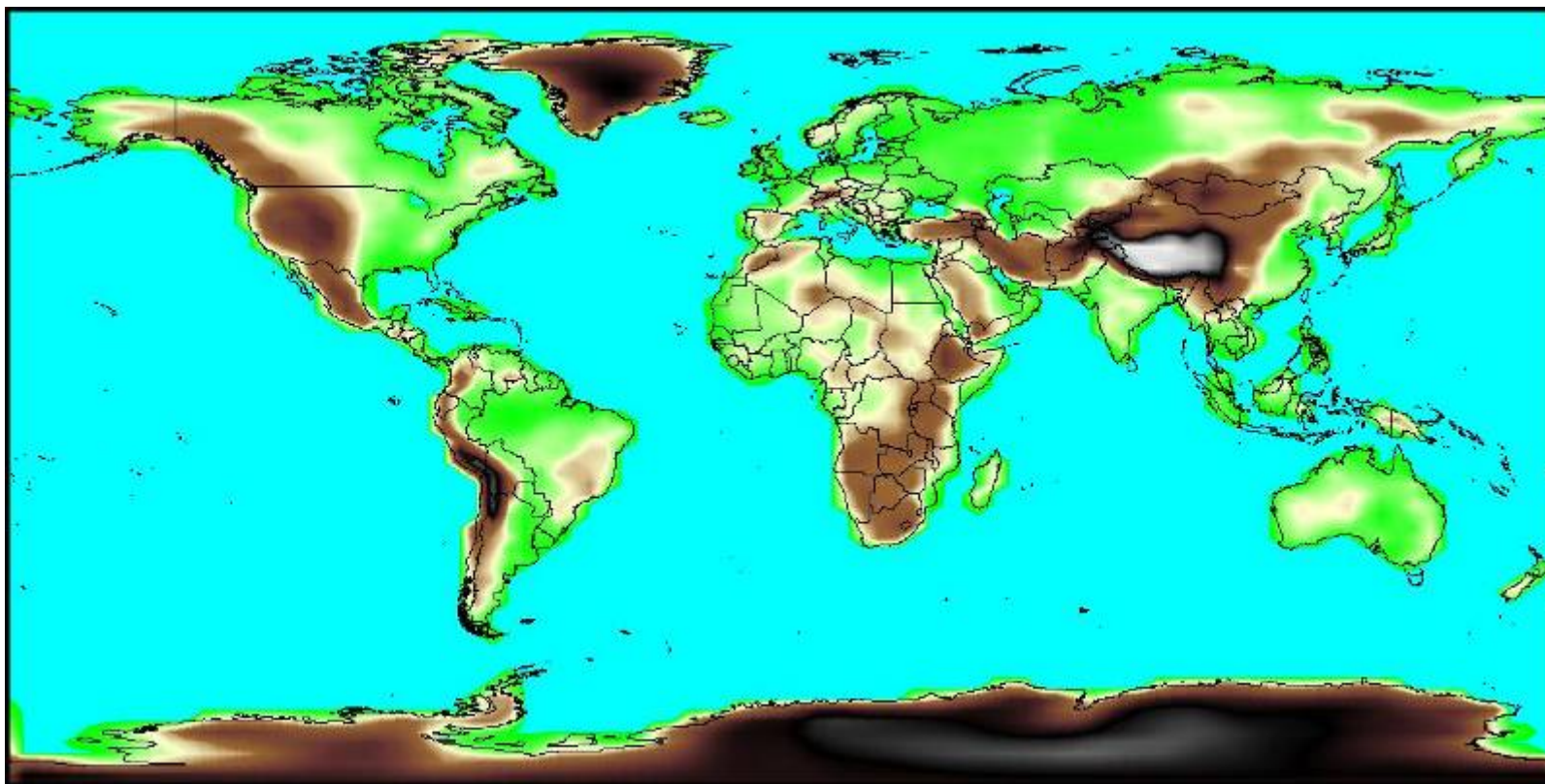
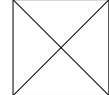
Přirozená variabilita
a
mezimodelová variabilita

Metoda „ensembles“
počáteční podmínky
parametry
(konstanty) fyzikálních
a dalších parametrizací

Projekce budoucích změn

- **Nejistoty ve vývoji emisí skleníkových plynů a aerosolů v budoucnu**
 - použít širší rozpětí SRES emisních scénářů
- **Přirozená variabilita**
 - použít metodu „ensembles“ (provést řadu simulací vycházejících z různých počátečních podmínek)
- **Nejistota v odezvě klimatického systému**
 - použít více klimatických modelů, posoudit shodu modelových projekcí
 - perturbace konstant v parametrizacích

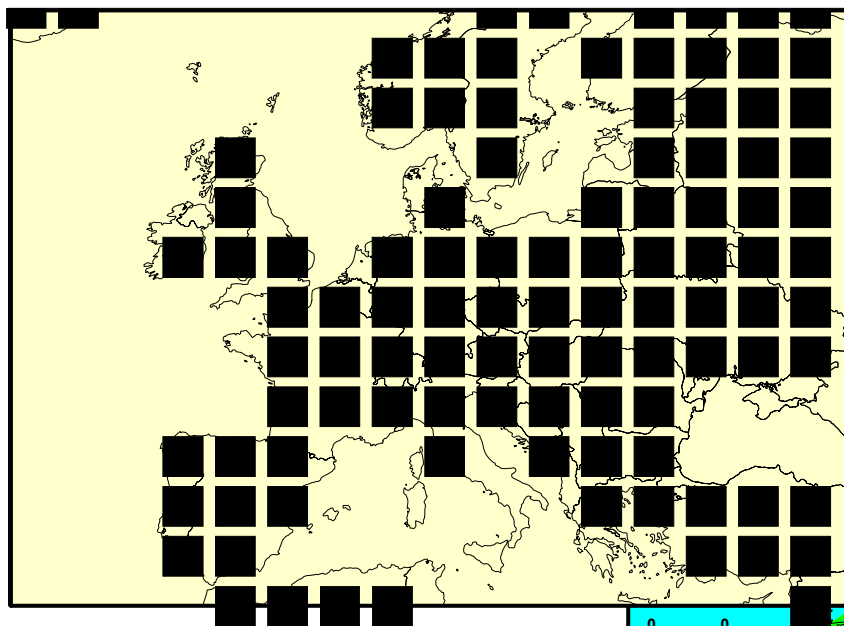
Reprezentace zemského povrchu v GCM



Modelová orografie HadCM3 (rozlišení modelu 3.75° x 2.5°)

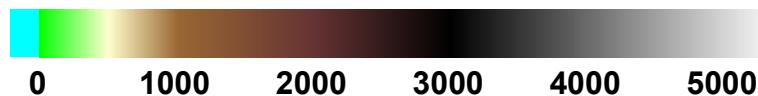
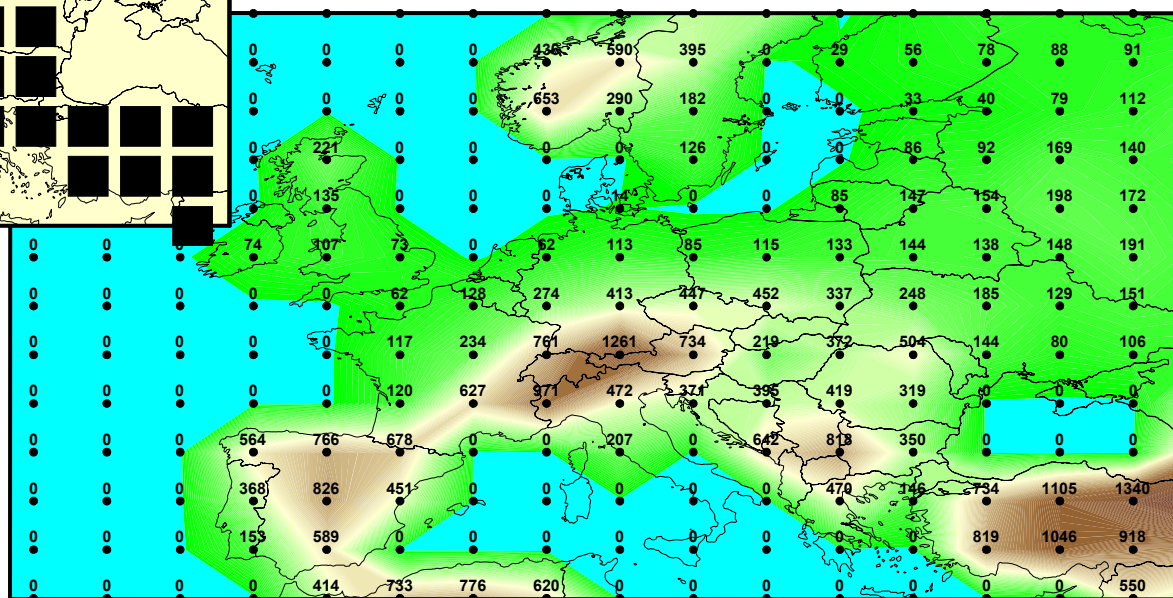
ZDROJ DAT: CRU (www.cru.uea.ac.uk)

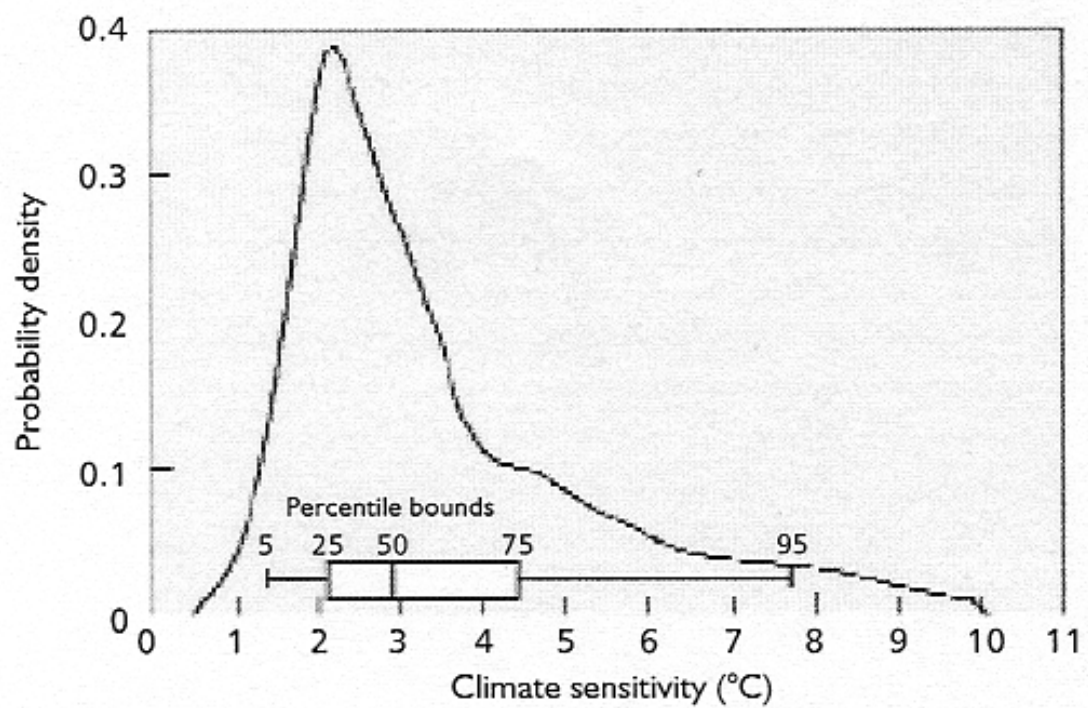
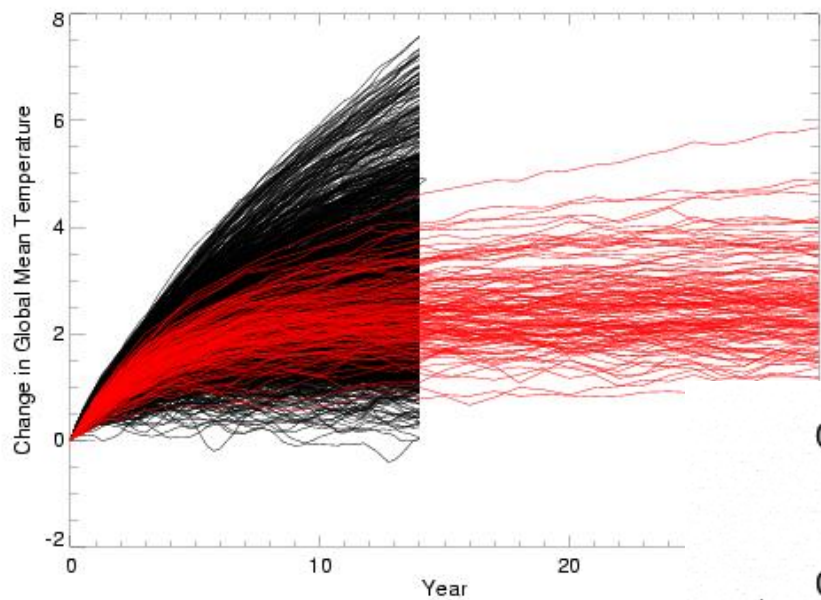
Rozlišení globálního modelu v regionálním měřítku

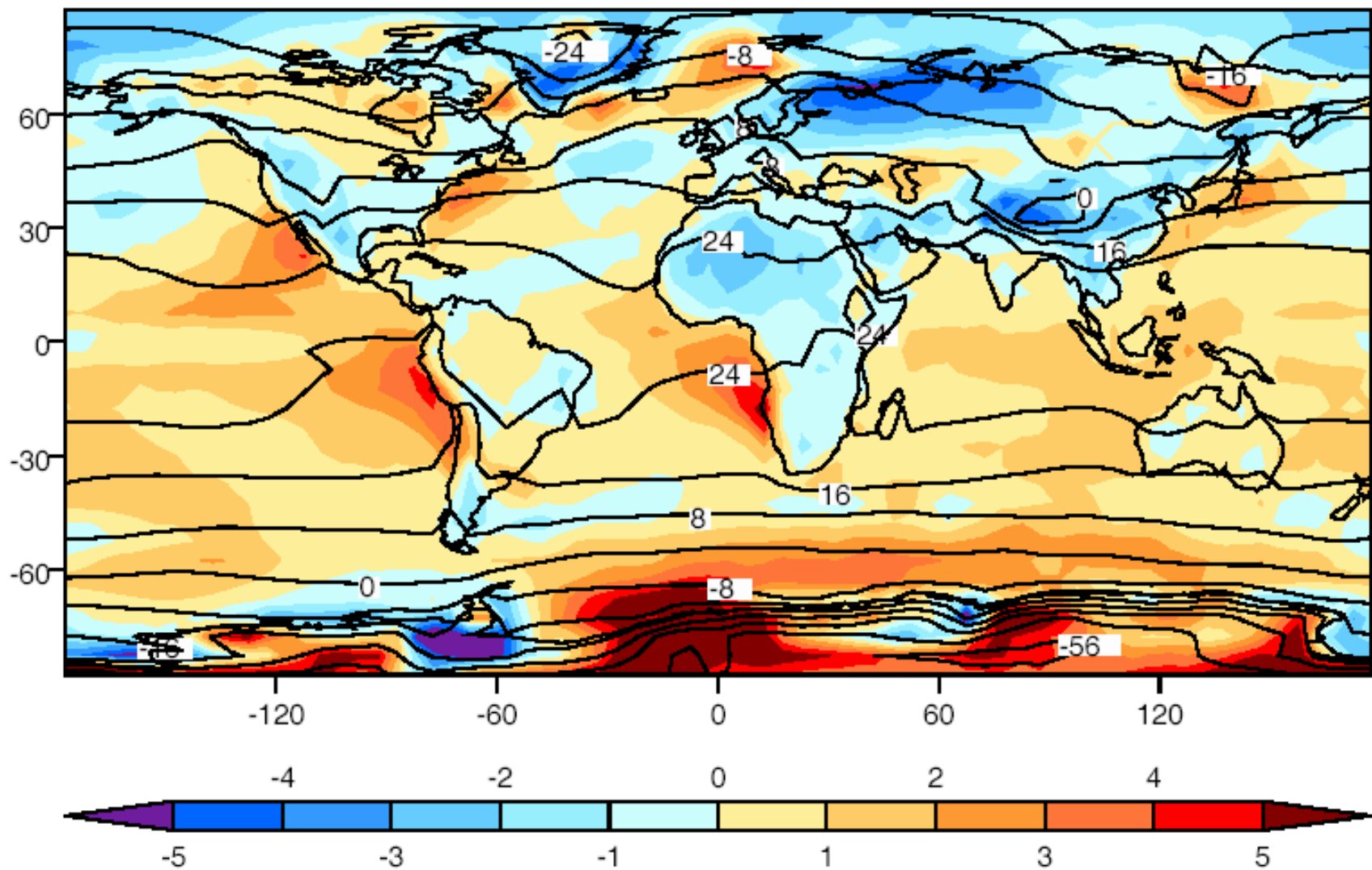


ZDROJ DAT: CRU
(www.cru.uea.ac.uk)

- Špatná reprezentace útvarů důležitých pro utváření klimatu na regionálních a lokálních měřítkách





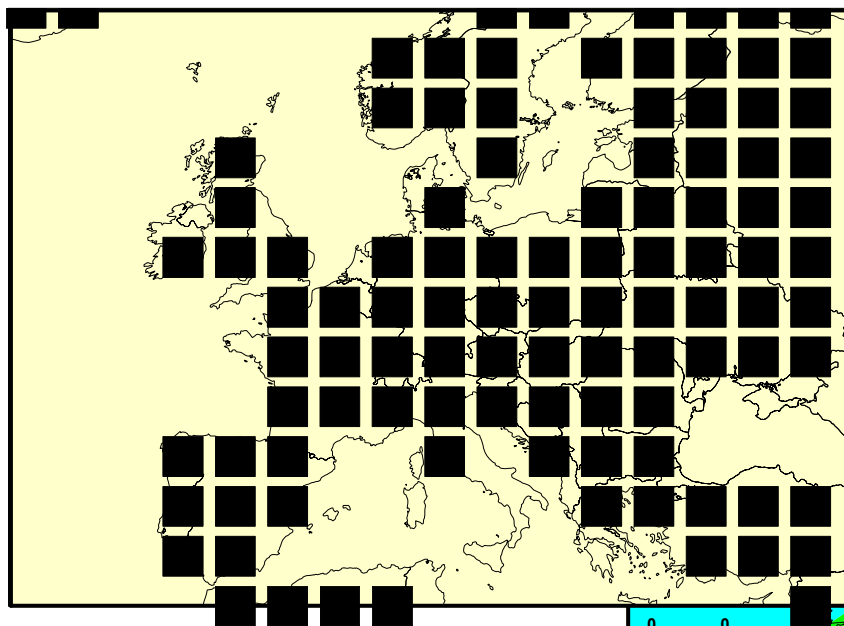
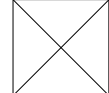


Pozorované roční průměry teploty vzduchu (1961 – 1990 CRU) a průměrná chyba modelů (simulovaná teplota – pozorovaná, období 1980-1999)

Regionální klimatické modely (RCM)

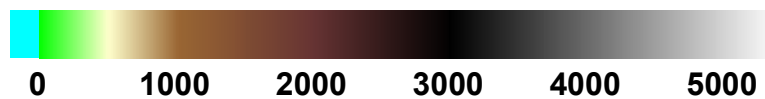
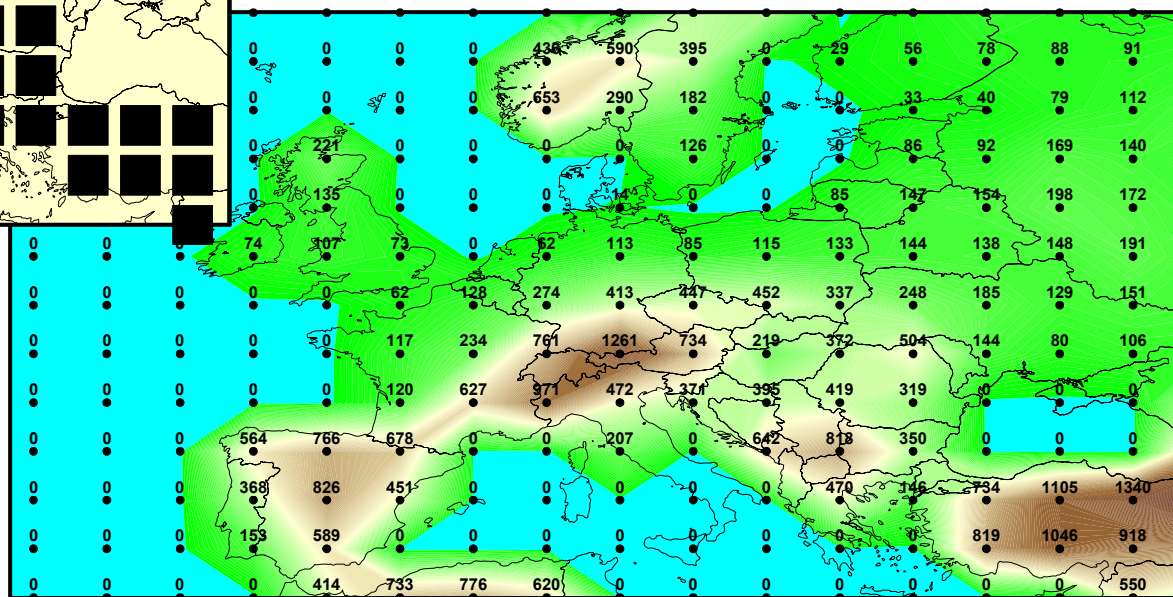
- simulace jen menší části planetárního povrchu, zato s větším prostorovým rozlišením než GCM
- okrajové podmínky, stav oceánu a podobně jsou přejímány z řídicího globálního modelu
- je možná kratší doba integrace, typicky v řádu desítek let
- RCM přenáší některé chyby řídicího globálního modelu

Rozlišení globálního modelu v regionálním měřítku



- Špatná reprezentace útvarů důležitých pro utváření klimatu na regionálních a lokálních měřítkách

ZDROJ DAT: CRU
(www.cru.uea.ac.uk)



Rozlišení a orografie regionálních modelů

RCAO

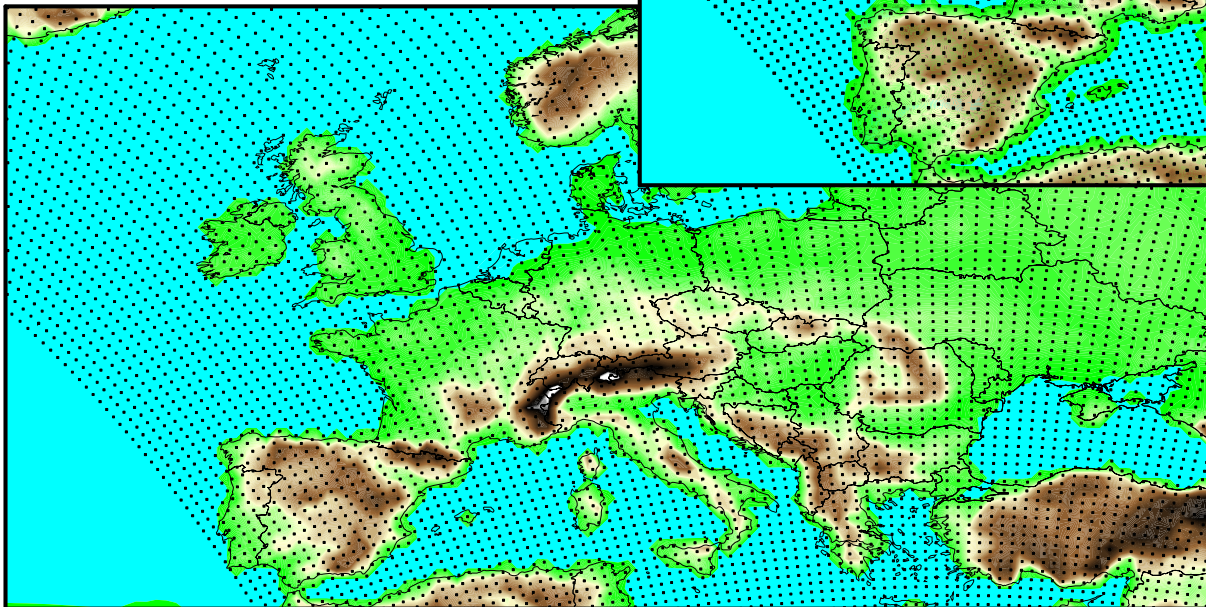
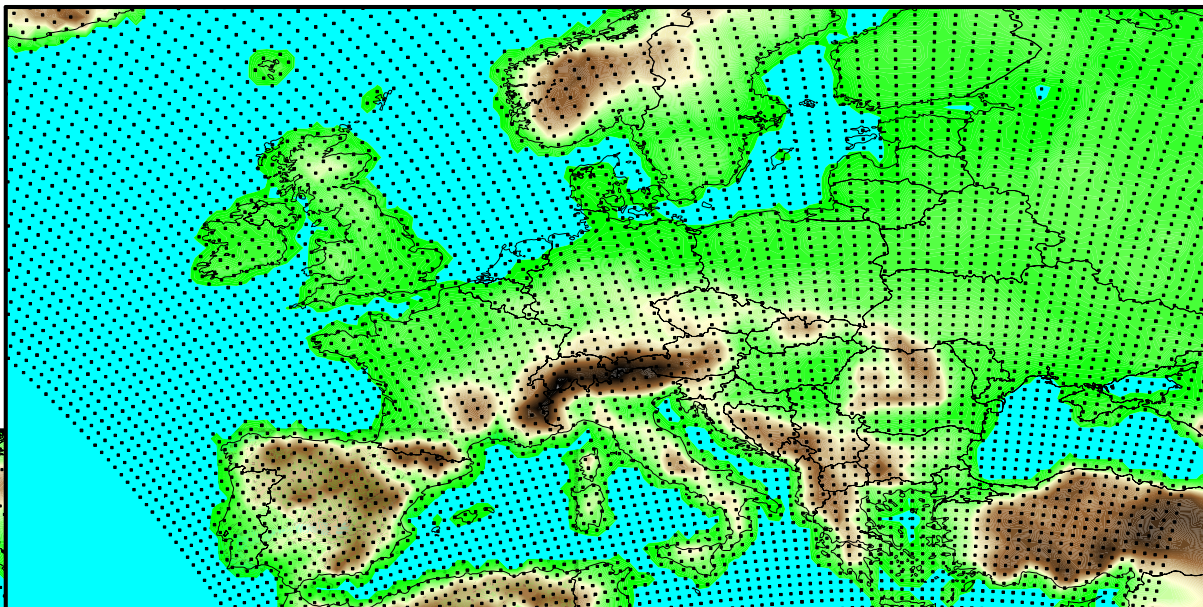
(Swedish Meteorological and Hydrological Institute)

- typické horizontální rozlišení kolem 50 km

- lepší popis orografie regionálních měřítek než GCM

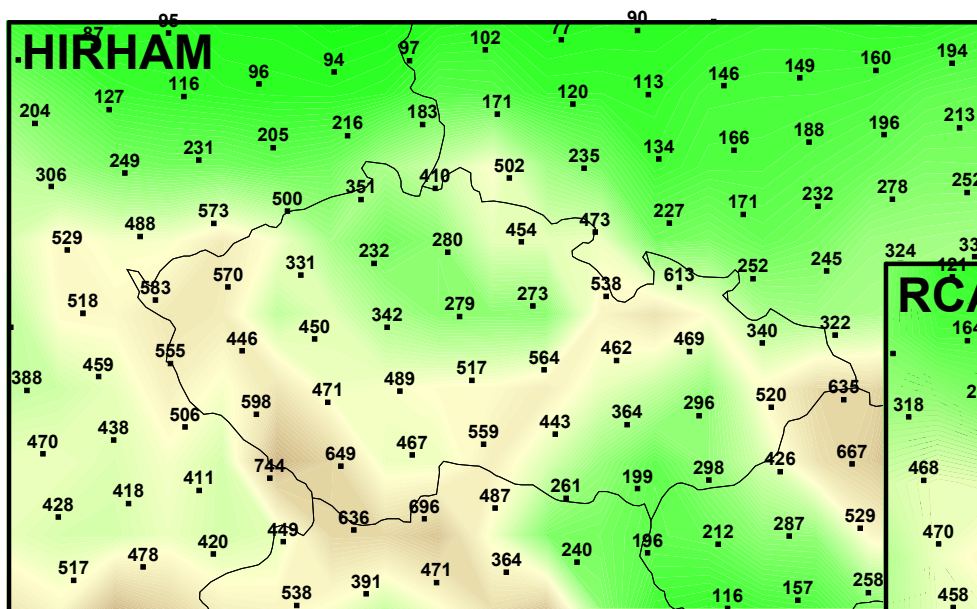
HIRHAM

(Danish meteorological institute)

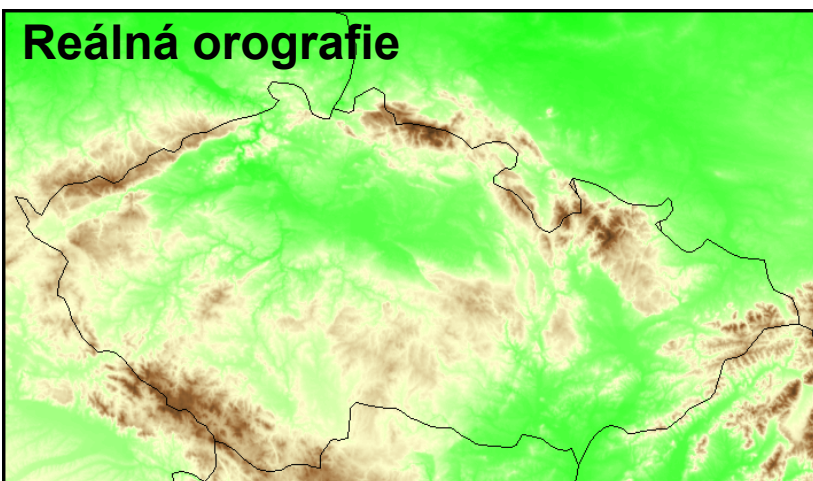
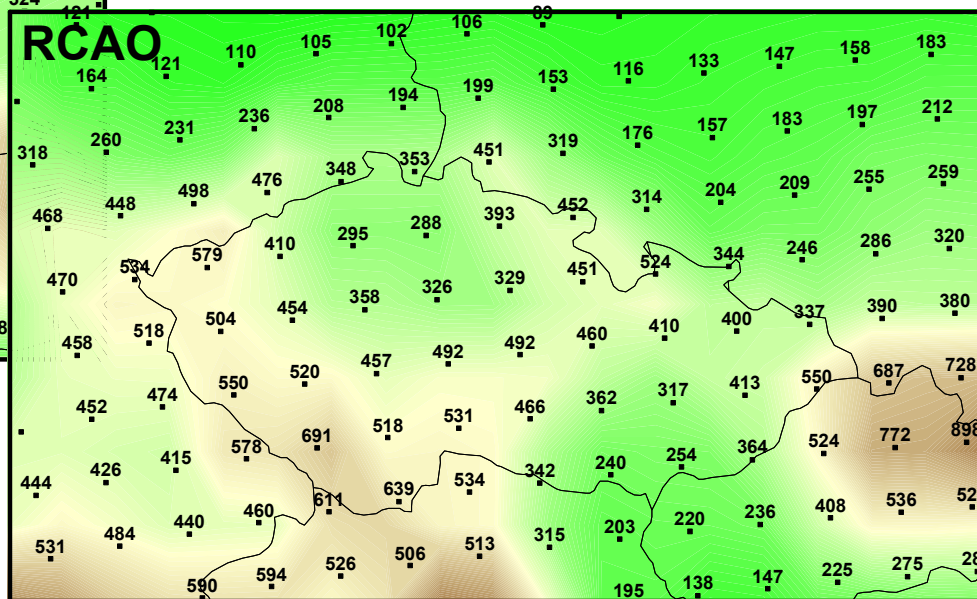


ZDROJ DAT: PRUDENCE project
(<http://prudence.dmi.dk/>)

Rozlišení a orografie regionálních modelů



- Některé důležité orografické útvary stále zanikají



ZDROJ MODELOVÝCH DAT: PRUDENCE project
(<http://prudence.dmi.dk/>)

Projekce a scénáře změny klimatu

Projekce budoucího klimatu

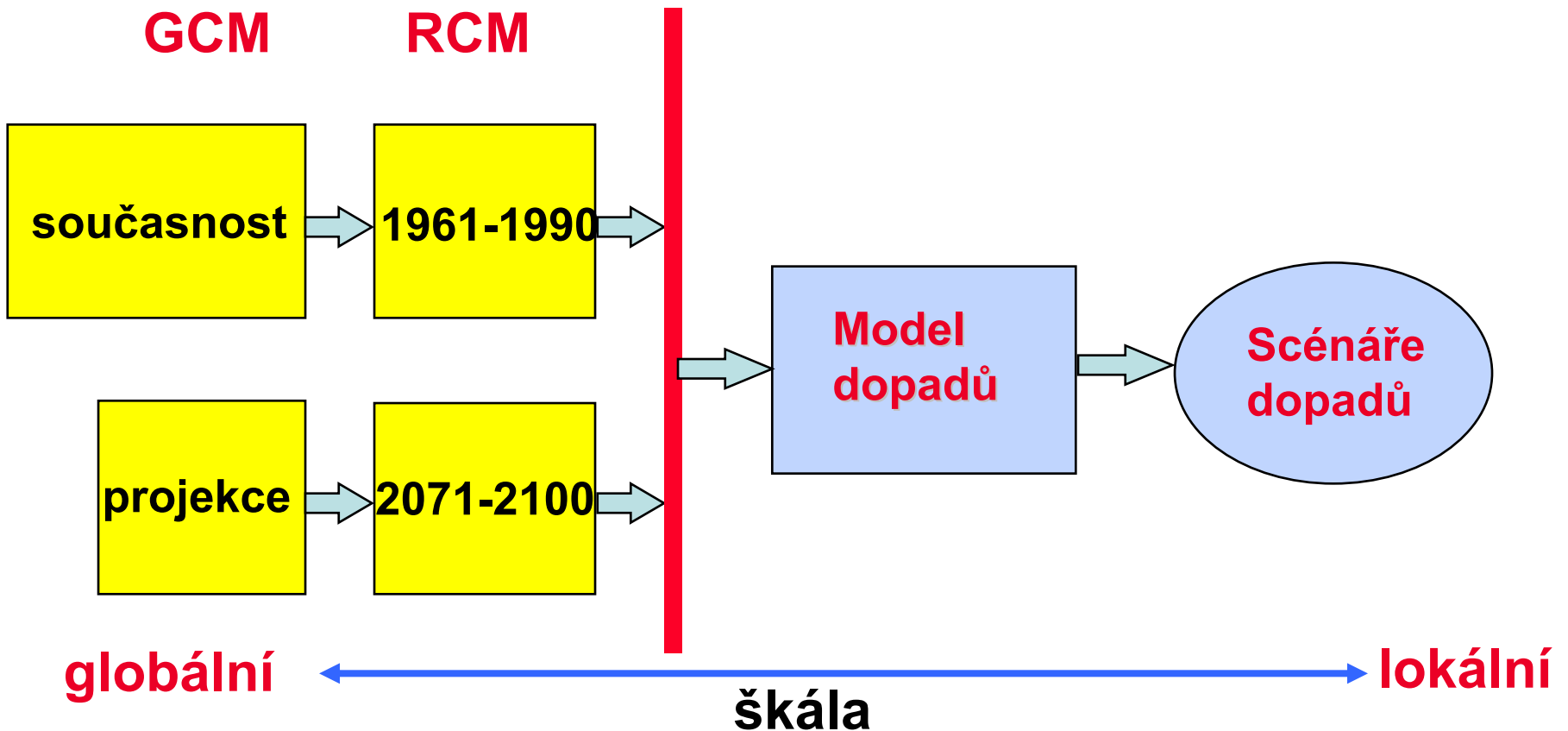
odezva klimatického systému na určitý scénář emisí počítaná klimatickým modelem

Scénář změny klimatu - „rozdíl“ mezi „současným“ např. historickým během modelu pro období 1961-1990 a **budoucím** modelovým klimatem (experimentem pro určitý časový horizont) **delta přístup**

Scénáře nejsou předpovědi budoucích klimatických podmínek, popisují přijatelné alternativní stavy klimatu v budoucnosti, které mohou za předpokládaných okolností nastat. Účelem scénářů je osvětlit nejistoty budoucího vývoje, pomoci najít rámeček či meze budoucího vývoje.

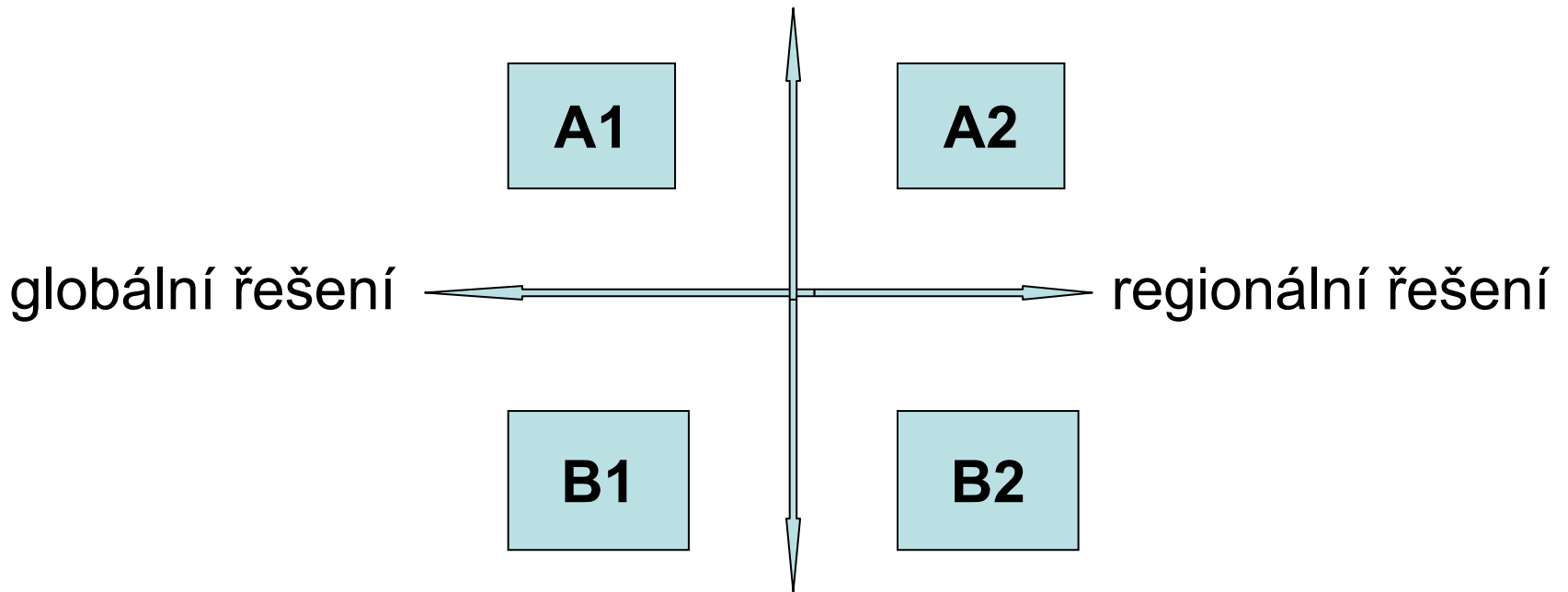
Impaktové scénáře

Delta přístup

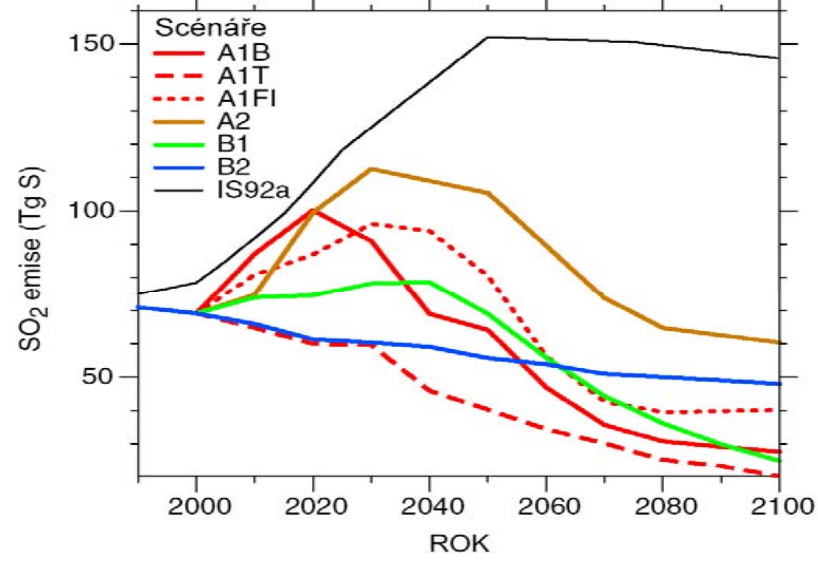
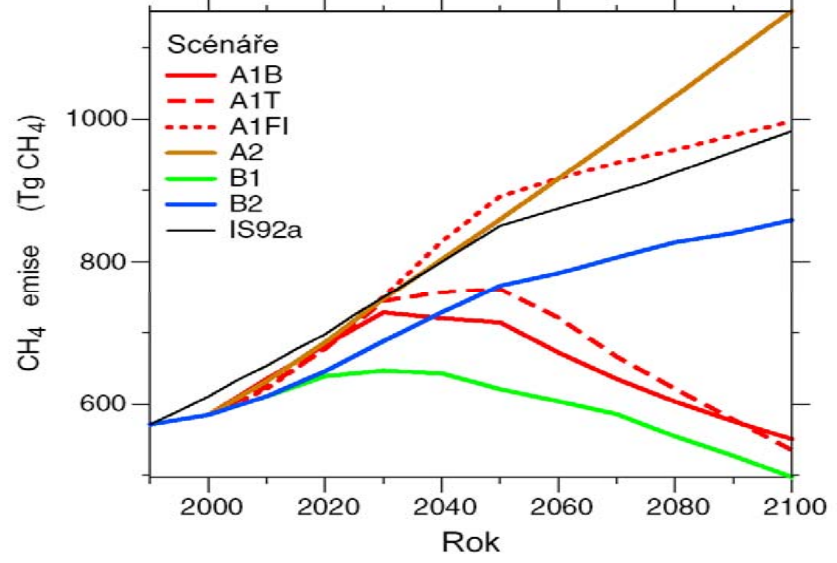
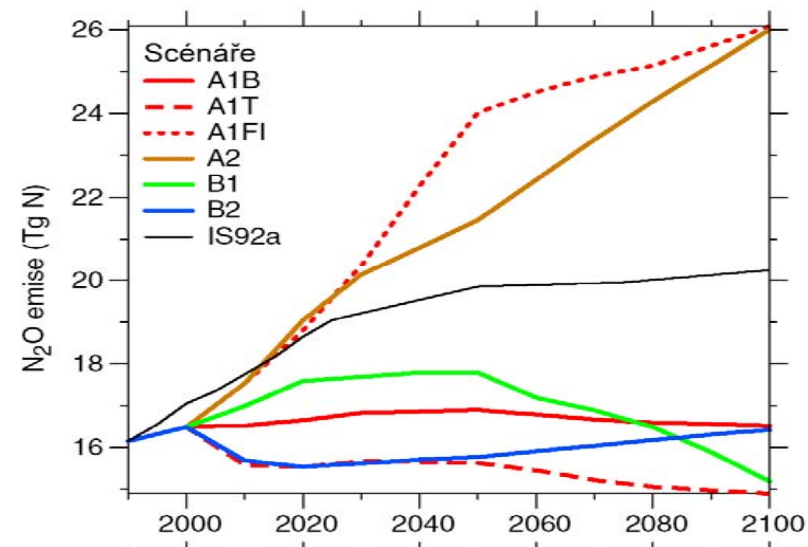
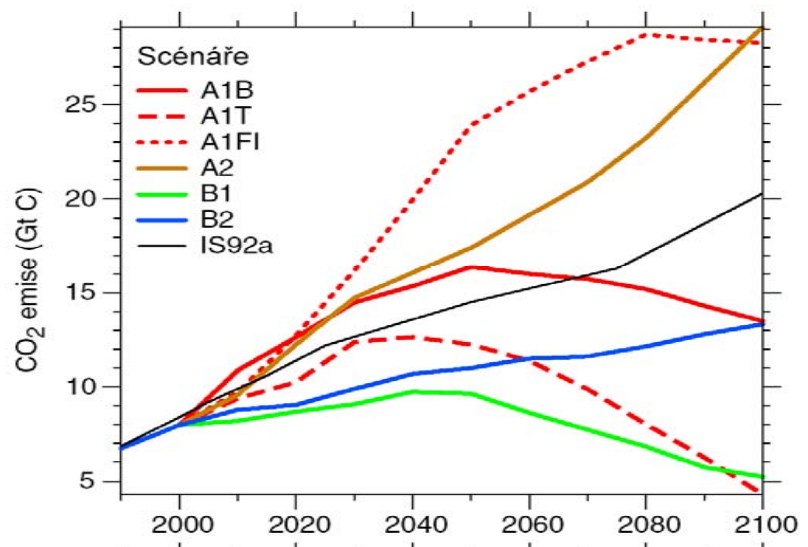


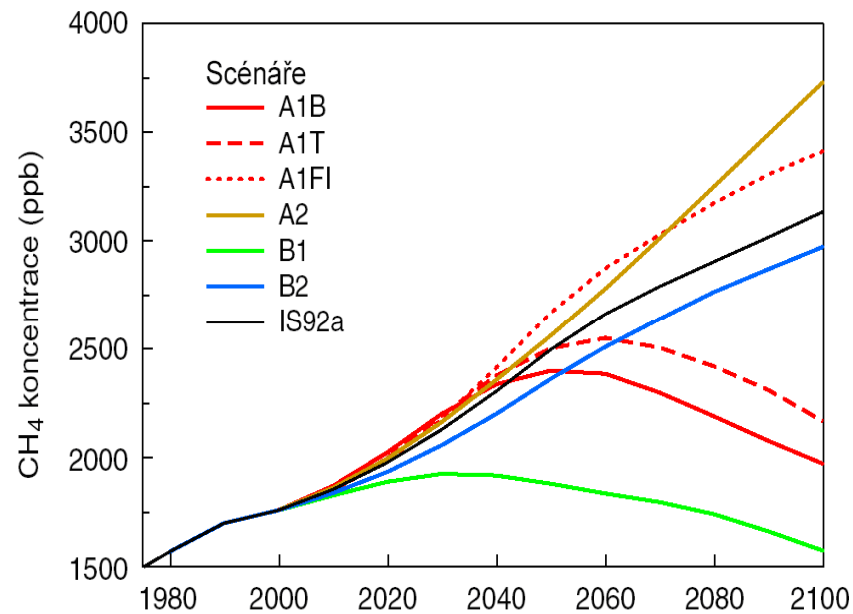
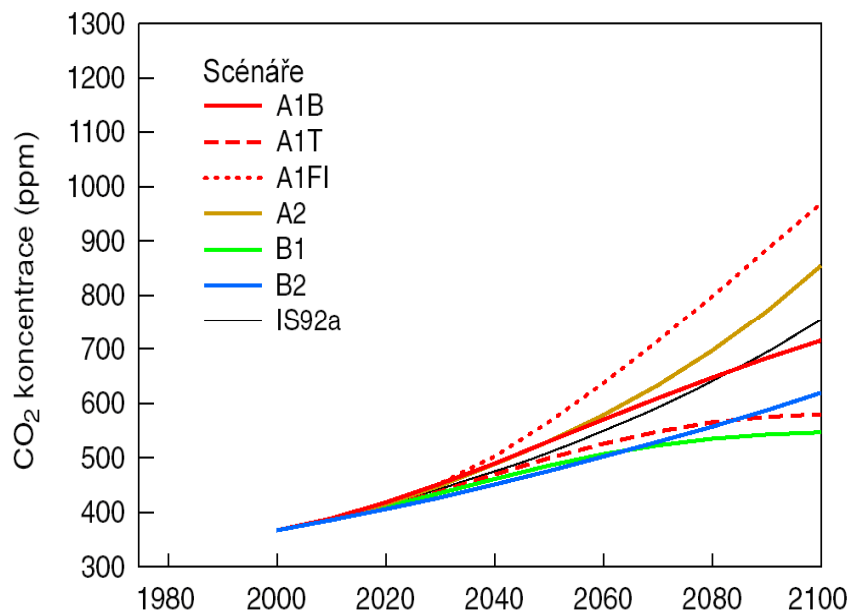
Emisní scénáře SRES

neřešení problémů životního prostředí



důraz na řešení problémů životního prostředí

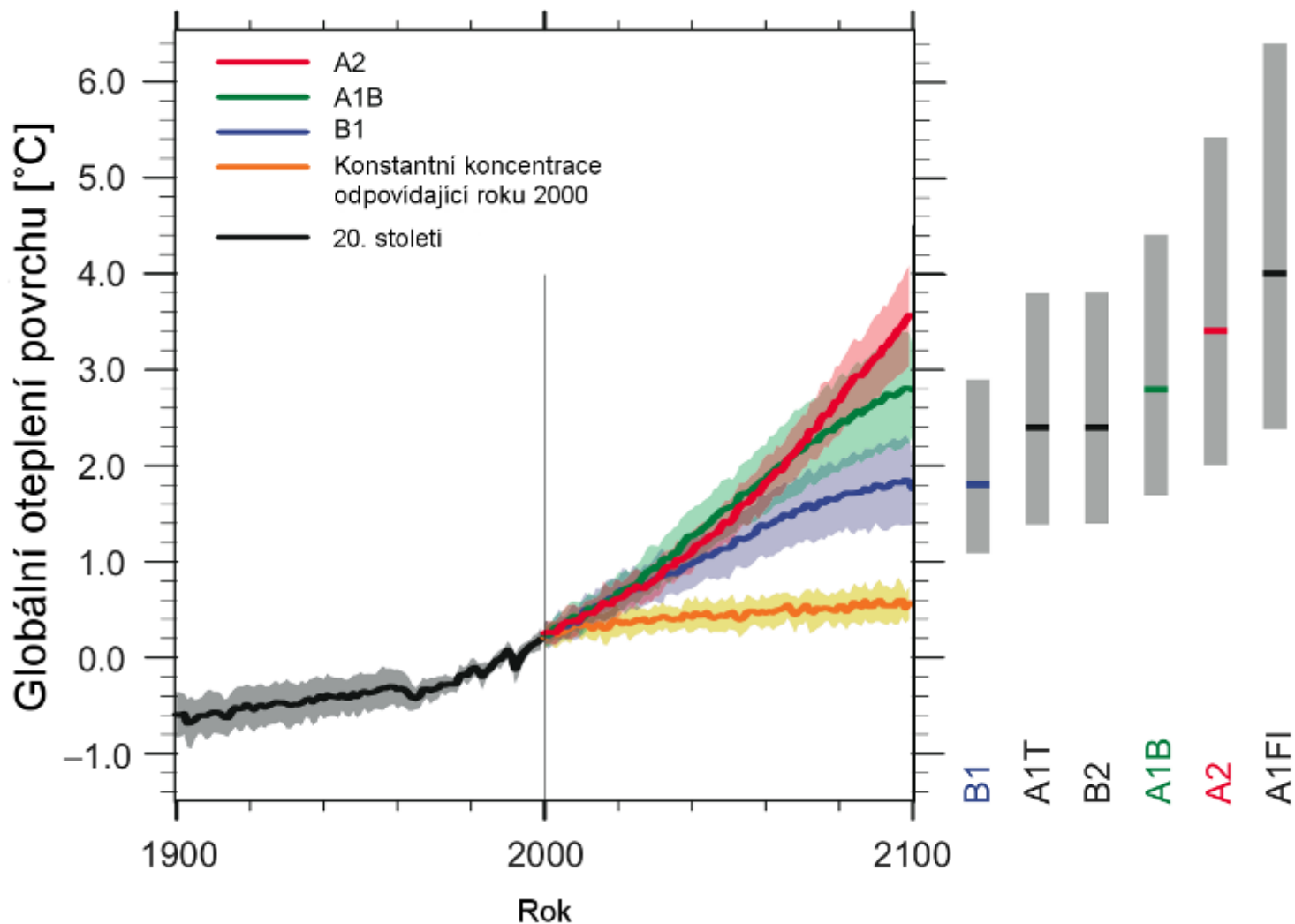




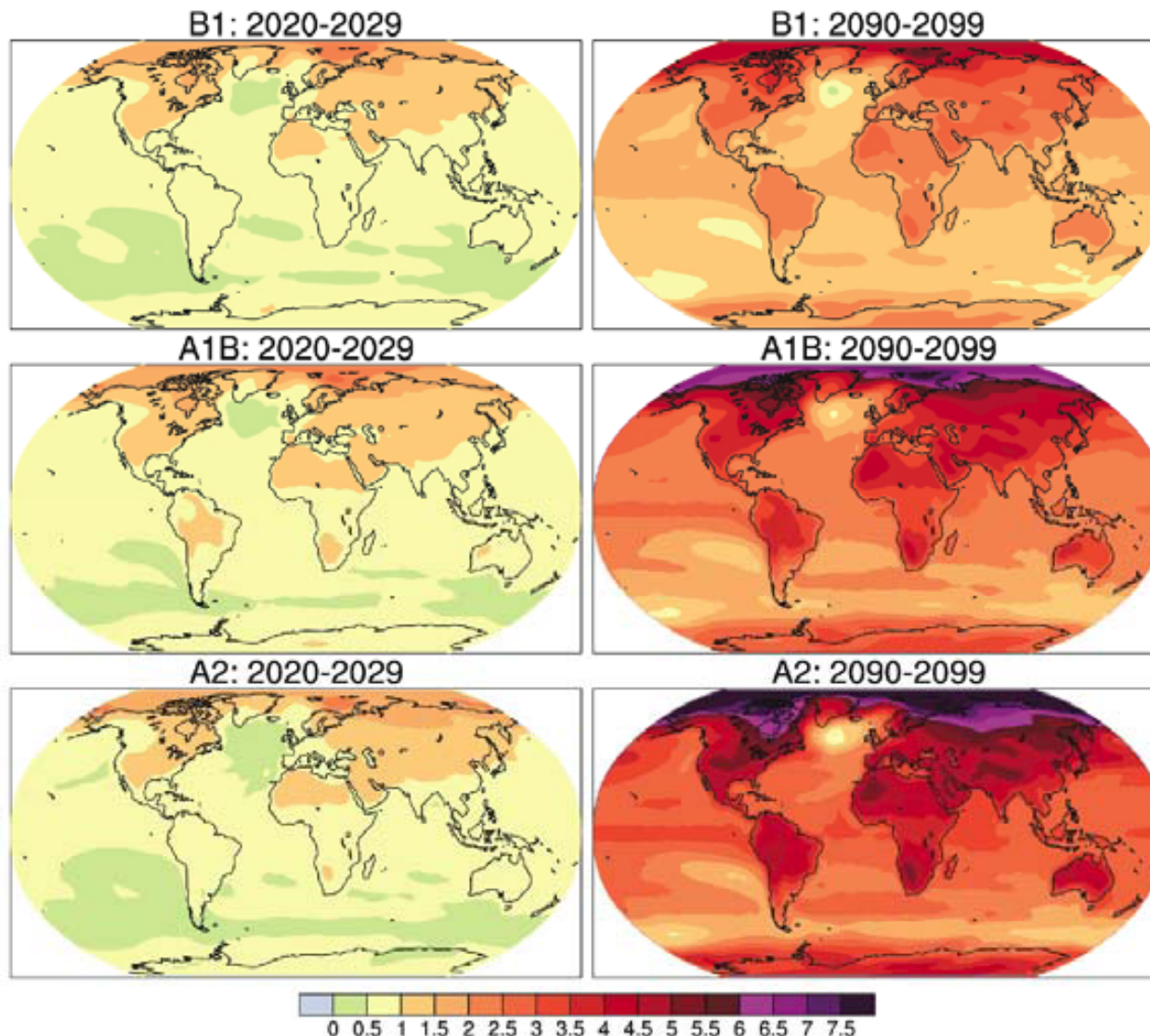
Růst koncentrací CO₂ a CH₄ odpovídající šesti ilustrativním SRES scénářům.

Tab.1: Změny globálního průměru teploty vzduchu při zemském povrchu a zvýšení hladiny oceánu na konci 21. století pro různé scénáře emisí (v období 2090-2099 ve srovnání s 1980-1999). Převzato z /1/.

Případ	Změna teploty [°C]		Vzestup hladiny moře [m] (pravděpodobný rozsah)
	Nejlepší odhad	Pravděpodobný rozsah	
Scénář B1	1,8	1,1-2,9	0,18-0,38
Scénář A1T	2,4	1,4-3,8	0,20-0,45
Scénář B2	2,4	1,4-3,8	0,20-0,43
Scénář A1B	2,8	1,7-4,4	0,21-0,48
Scénář A2	3,4	2,0-5,4	0,23-0,51
Scénář A2FI	4,0	2,4-6,4	0,26-0,59



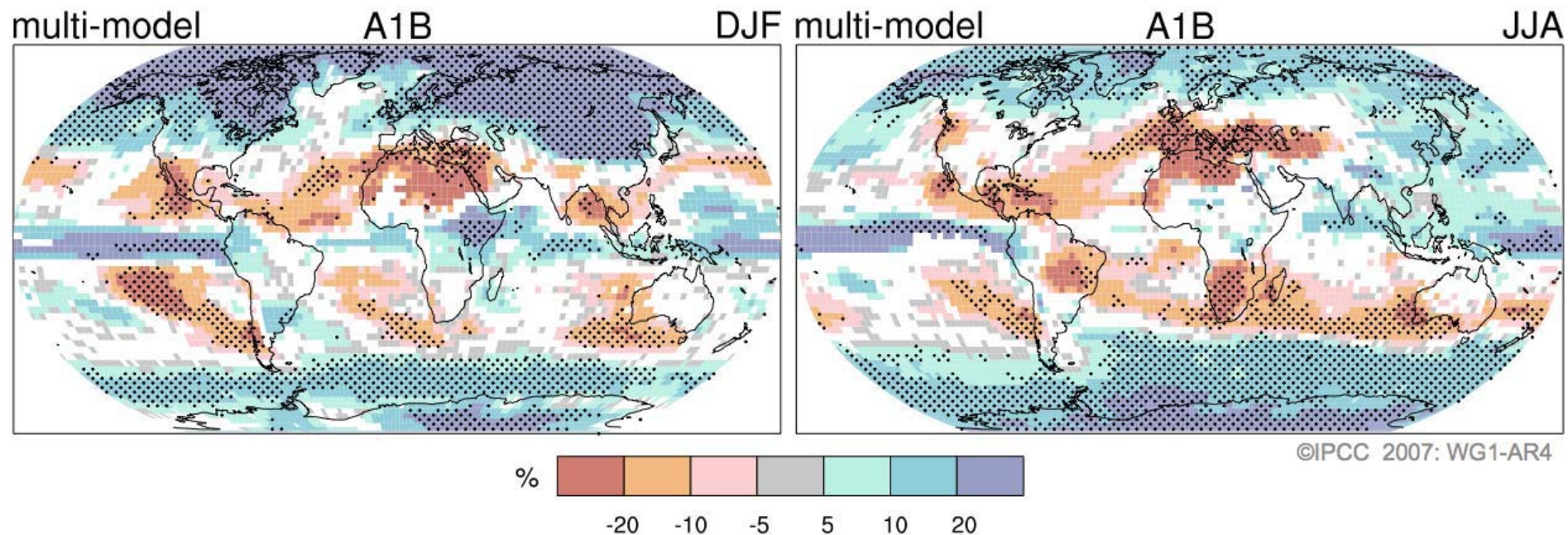
Růst ročního globálního průměru teploty vzduchu při zemském povrchu (ve srovnání s obdobím 1980-99) vypočítaný z mnoha klimatických modelů pro scénáře A2, A1B a B1 a znázorněné jako prodloužení simulací pro 20. století. Vybarvená oblast odpovídá rozsahu plus minus jedné směrodatné odchylky vypočítané z ročních průměrů pro jednotlivé modely. Oranžová čára představuje experiment, při kterém byly koncentrace udržovány konstantní na úrovni roku 2000. Upraveno z IPCC 2007.



Změny teploty vzduchu při zemském povrchu ve srovnání s obdobím 1980-1999. Panely ukazují průměr založený na modelech typu AOGCM pro scénáře SRES B1 (nahore), A1B (uprostřed) a A2 (dole), vypočítaný pro desetiletí 2020-2029 (vlevo) a 2090-2099 (vpravo). Upraveno z IPCC 2007.

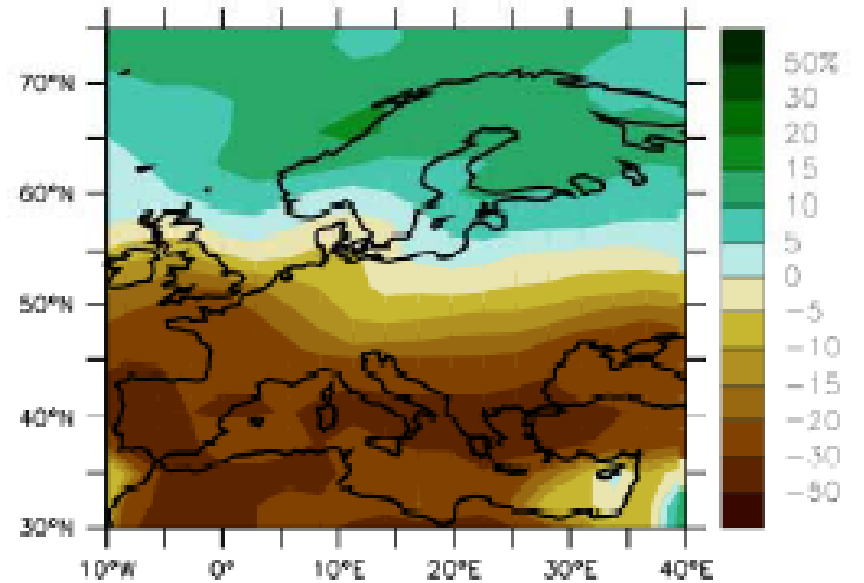
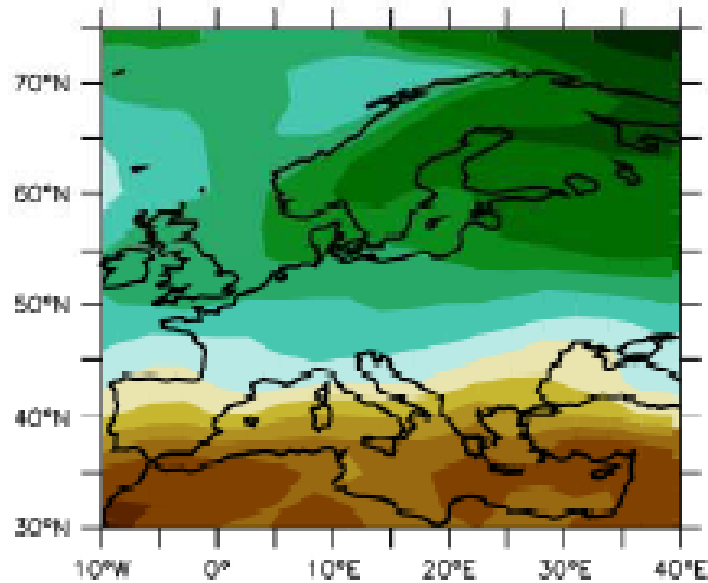
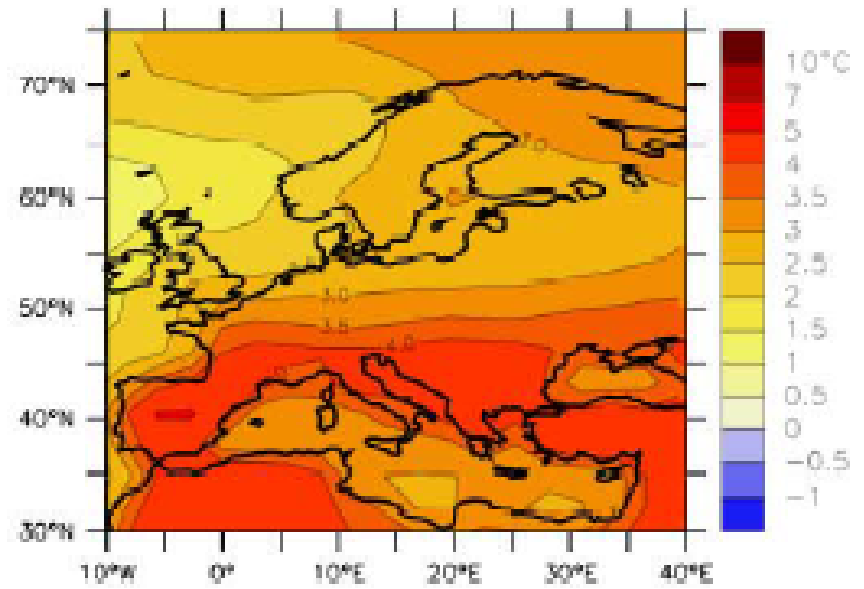
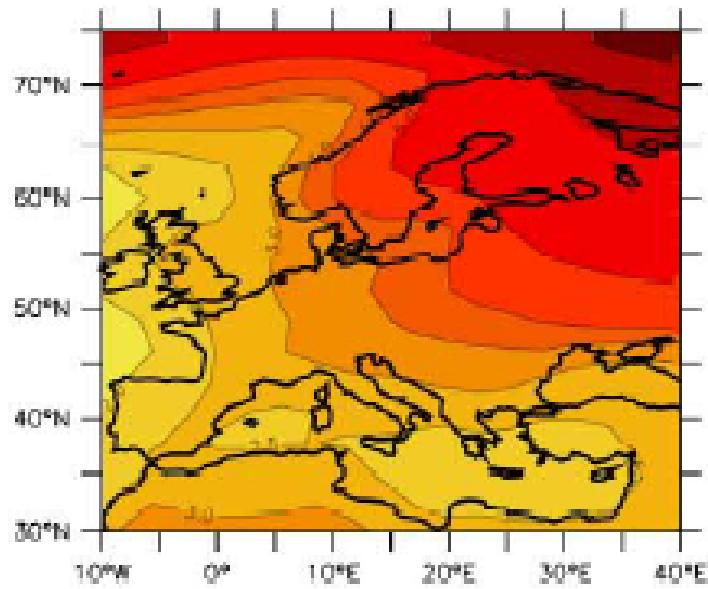
Relativní změna srážek (%) pro období 2090-2099 ve srovnání s obdobím 1980-1999. Hodnoty představují vícemodelový průměr, bílé jsou znázorněny oblasti, kde se méně než 66 % modelů shoduje na znaménku změny; tečkovaně oblasti, kde se na znaménku změny shoduje více než 90 % modelů.

Projected Patterns of Precipitation Changes



DJF

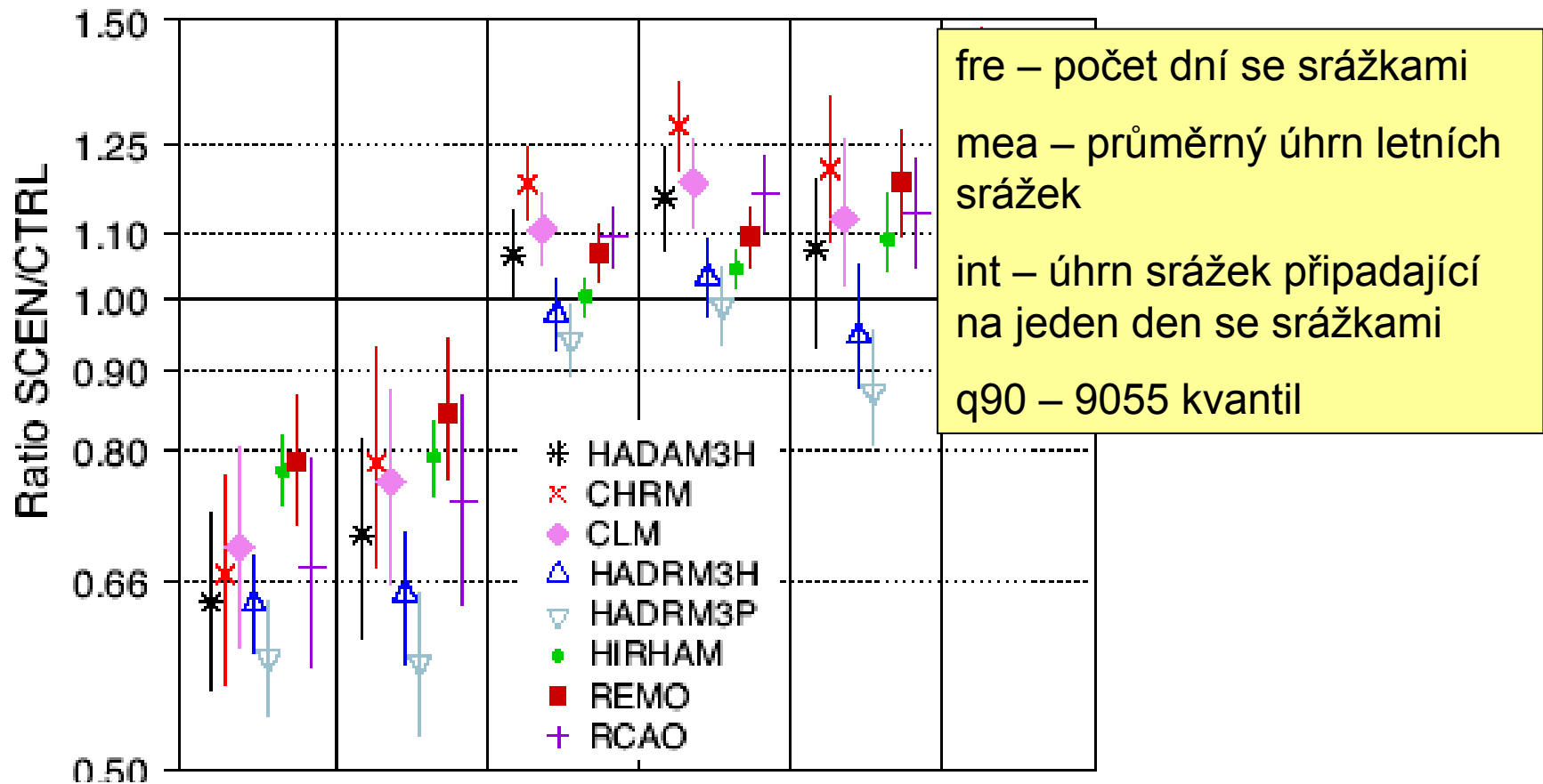
JJA



SRES A1B

1980-1999 versus 2080-2099

(d) Central Europe JJA



Scénáře pro ČR založené na GCM

projekty VaV MŽP

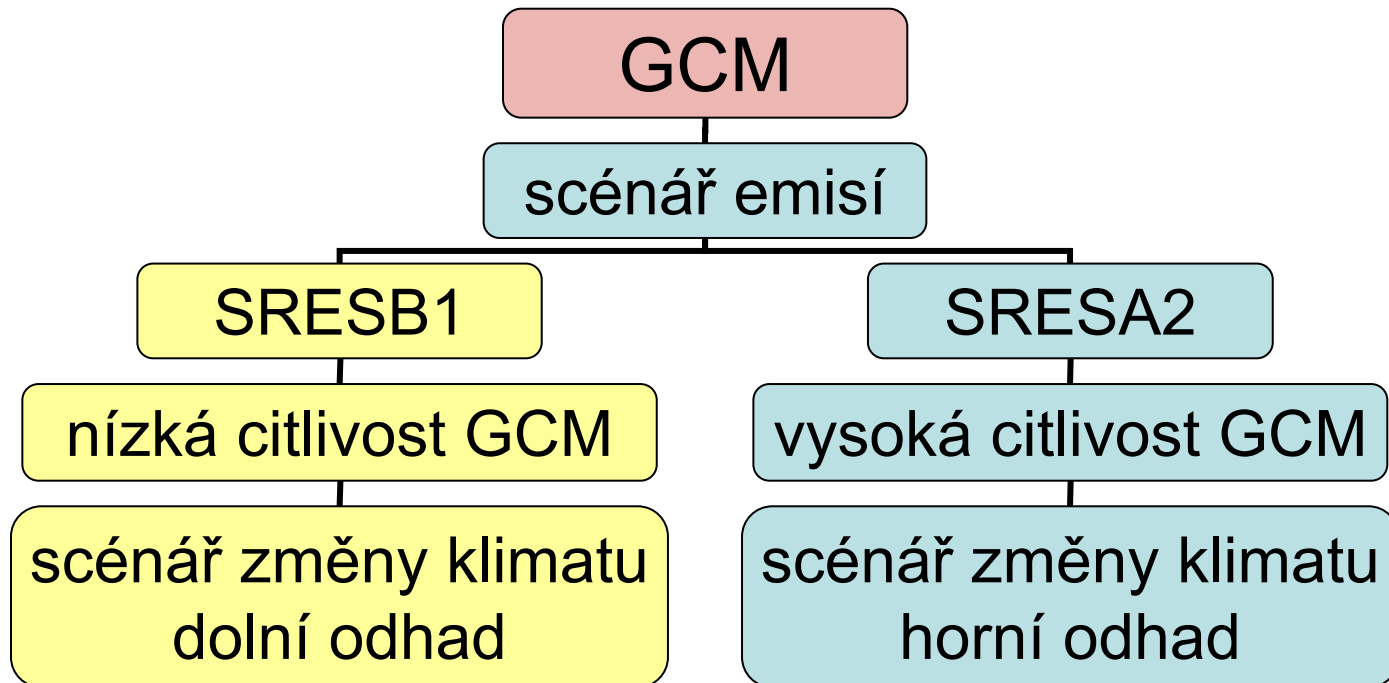
časový horizont 2050 (2036 – 2065)

scénář emisí SRES (dva a více)

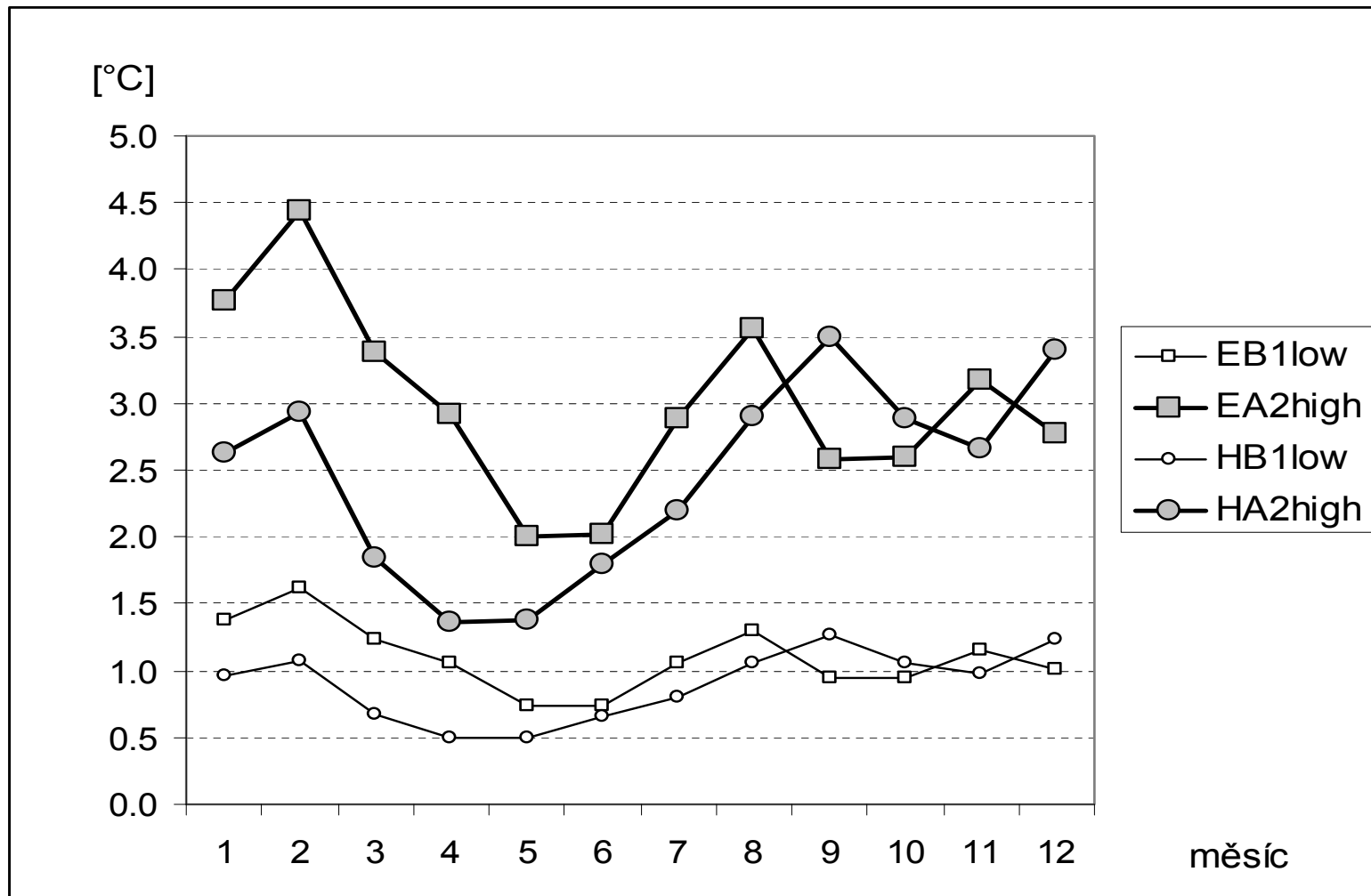
klimatický model ECHAM, HadCM

(prověřit, jak umí vystihnout současné
klimatické podmínky)

teplotní citlivost GCM nízká, vysoká



Změny průměrné denní teploty vzduchu v ČR pro rok 2050.



Teplota vzduchu

Změny průměrné roční teploty vzduchu

horní odhady 3,0 °C a 2,5 °C

dolní odhady 1,1 °C a 0,9 °C

Změny průměrných měsíčních teplot

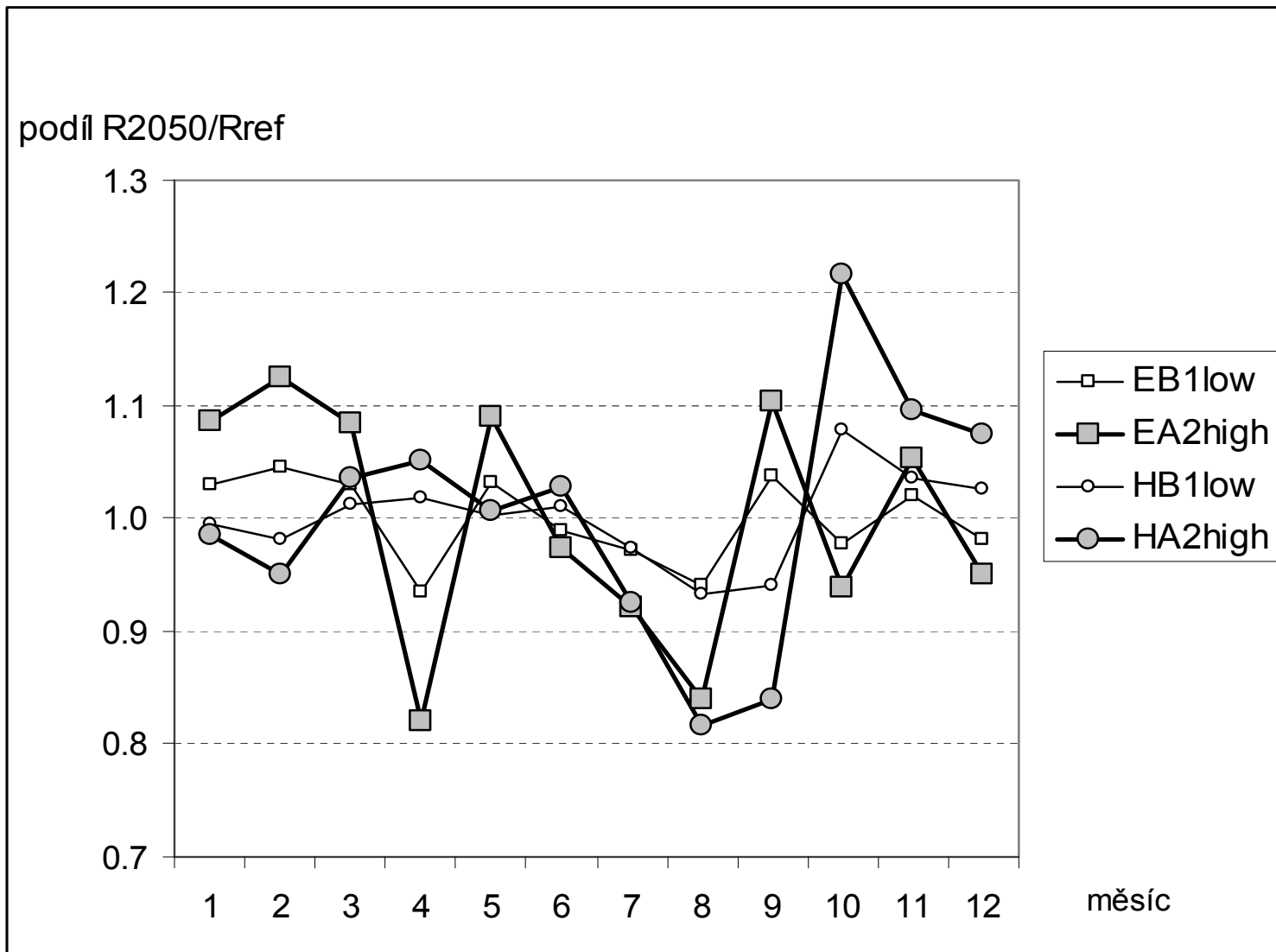
leden horní odhady 2,6 °C a 3,8 °C

 dolní odhady 1,0 °C a 1,4 °C

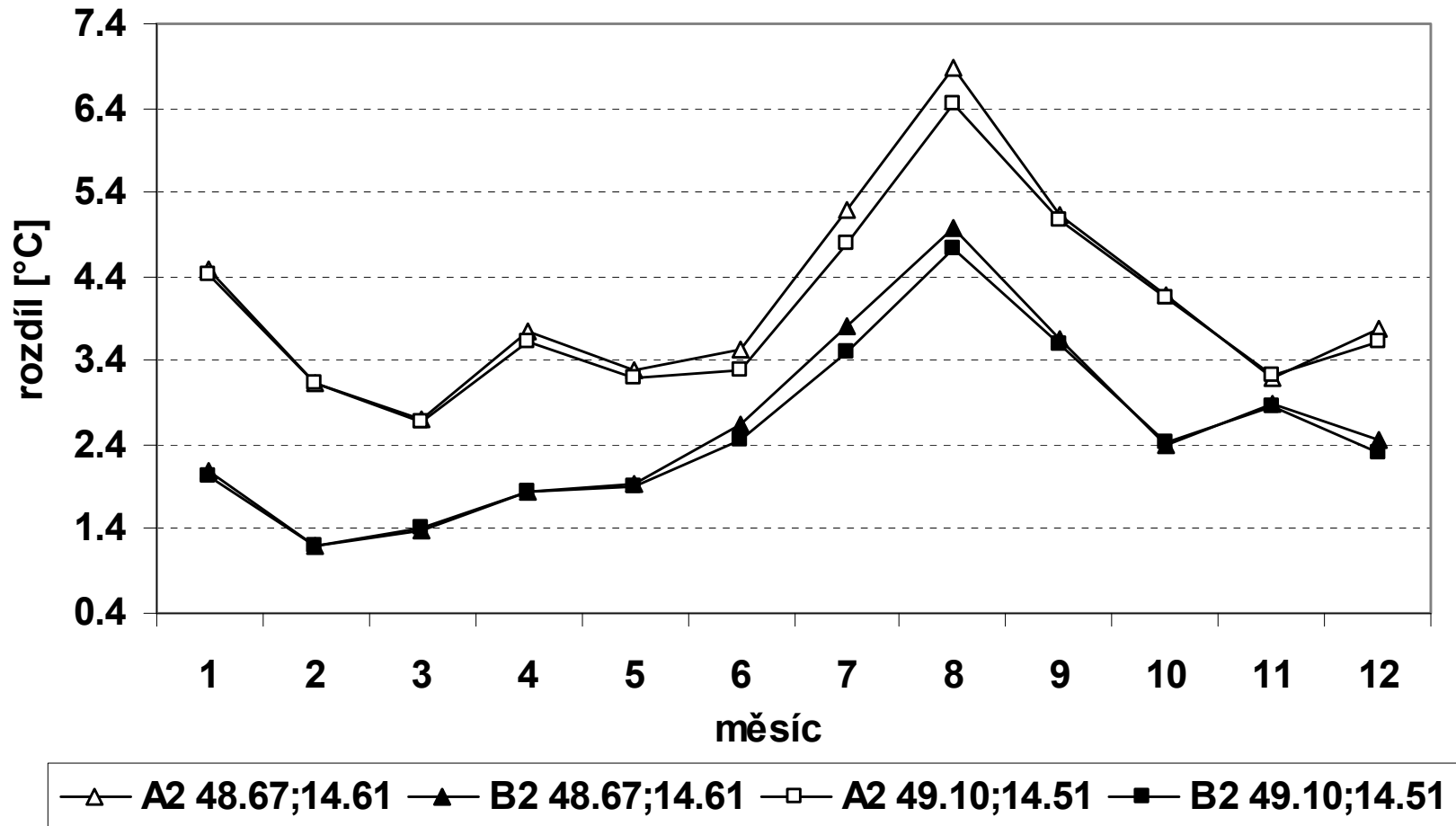
červenec horní odhady 2,2 °C a 2,9 °C

 dolní odhady 0,8 °C a 1,1 °C

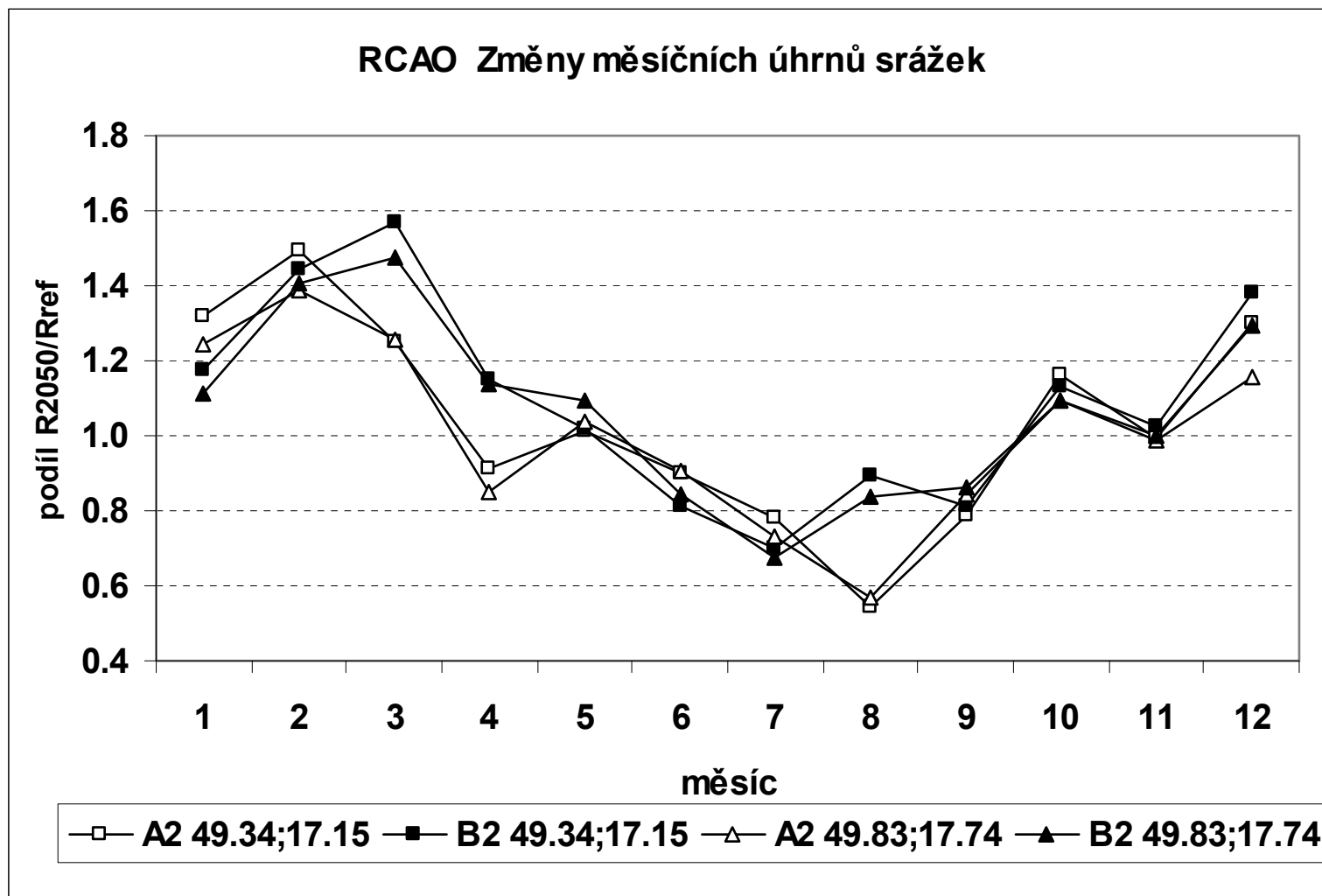
Změny atmosférických srážek v ČR (2050)



RCAO Změny průměrné teploty vzduchu



Změny teploty vzduchu (rozdíly mezi měsíčními průměry pro období 2071 – 2100 a referenční období 1961 – 1990 ve dvou uzlových bodech modelu RCAO ležících v oblasti jižních Čech. A2 a B2 označují SRES scénáře.



Změny průměrných měsíčních úhrnů srážek (podíl nových srážek ku srážkám pro referenční období)

Klima se měnilo, mění a měnit bude, výkyvy klimatu mohou být větší, než tomu bylo v době přístrojových pozorování

Klimatický systém je velmi složitý nelineární systém

Klimatický systém je chaotický systém

Změny v klimatickém systému mohou probíhat velmi rychle

Člověk zasahuje do klimatického systému

Skleníkové plyny jednou do atmosféry uvolněné tam zůstávají dlouhou dobu

Odhady změn klimatu mají nezanedbatelný stupeň nejistoty - SRES scénáře, klimatické modely

Vždy se rozhodujeme za nejistoty

Lidská společnost je anomáliemi a extrémny klimatu stále více zranitelná

??? Posadit na rozcestí a čekat????